



Prof. dr. sc. Dražen Balen

# PETROLOGIJA

[www.pmf.unizg.hr/geol/predmet/pet](http://www.pmf.unizg.hr/geol/predmet/pet)

preddiplomski studij  
Znanosti o okolišu II godina

*On-line predavanja prilagođena CoViD pandemiji*

## **CILJ KOLEGIJA:**

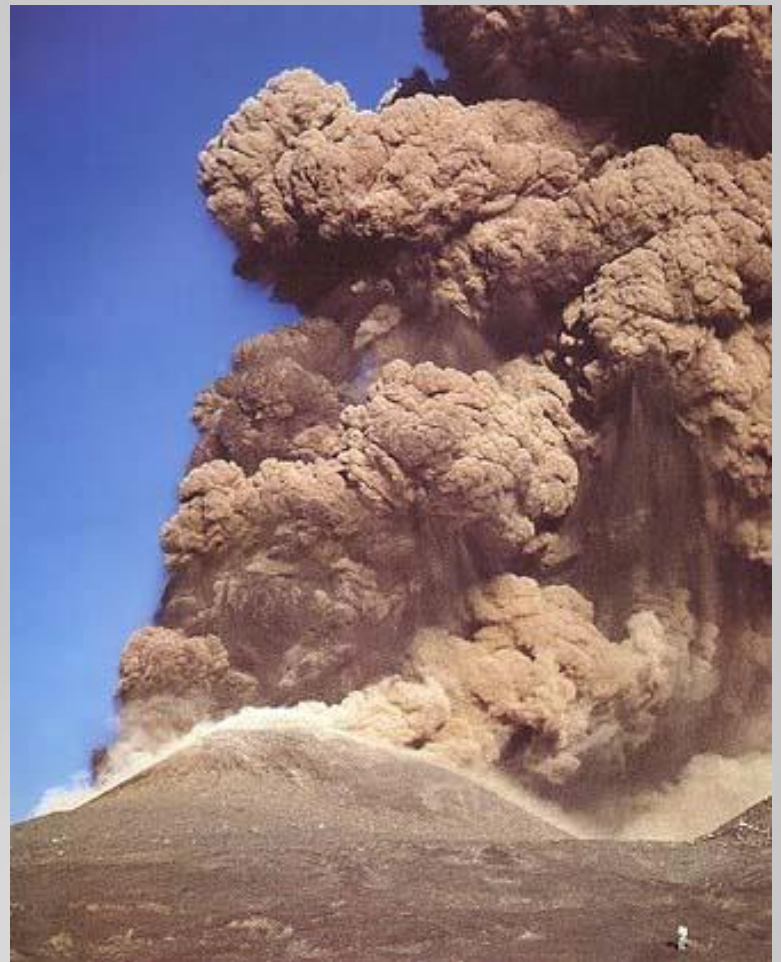
Savladavanje osnovnih znanja iz petrologije magmatskih, metamorfnih i sedimentnih stijena potrebnih za postizanje titule prvostupnika na studiju znanosti o okolišu. Osposobljavanje u prepoznavanju, klasifikaciji i osnovnoj interpretaciji geneze najčešćih magmatskih, metamorfnih i sedimentnih stijena. Stječu se znanja potrebna za samostalan rad u kabinetu, laboratoriju, korištenje polarizacijskog mikroskopa, rad na terenu i osnove za praćenje nastave na diplomskom studiju. Na temelju poznavanja raznih stijenskih značajki, studenti će biti u stanju protumačiti procese aktivne u vrijeme nastanka stijene i interpretirati značajke nekadašnjih okoliša, kao i karakter izvornih predjela u kontekstu tektonike ploča. Studenti također stječu znanja o procesima koji utječu na konačni izgled stijena.

## **Terenska nastava**

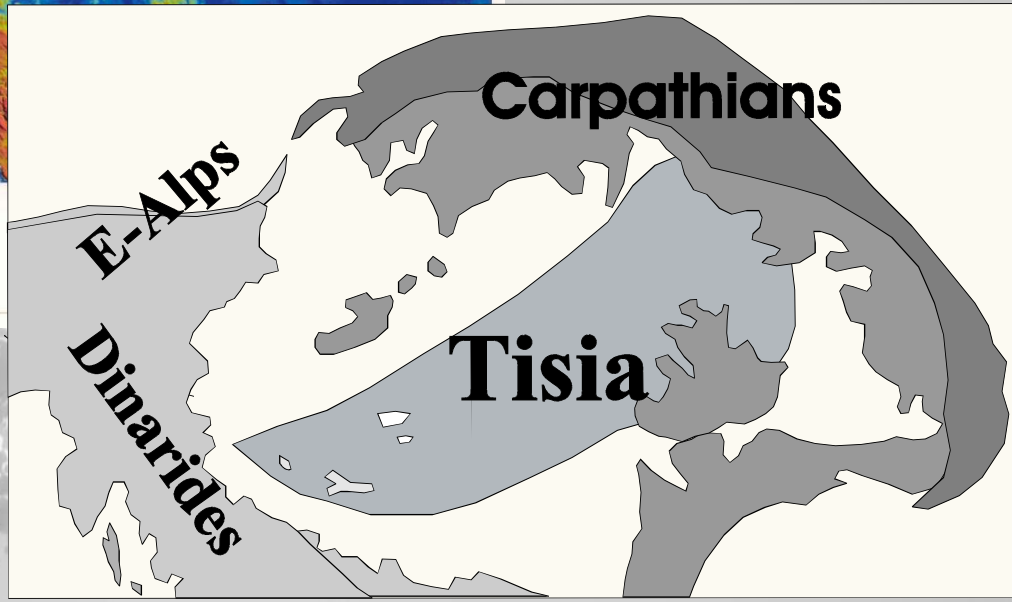
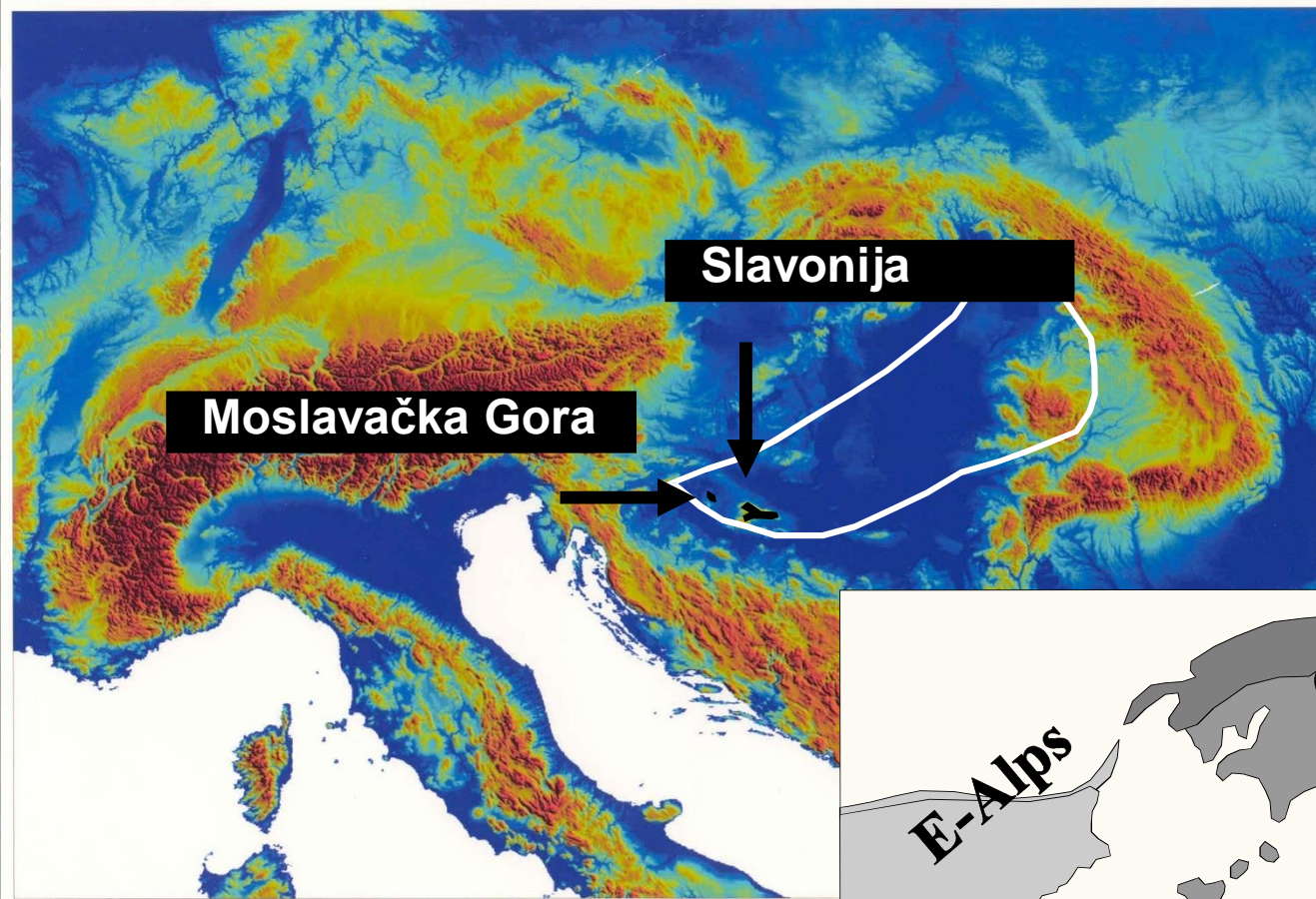
- ⇒ Hrvatsko zagorje, Moslavačka gora
- ⇒ slavonske planine (Psunj, Papuk, Krndija)

# Što je petrologija i zašto je studirati?

- Jednostavno – studij stijena
- Grč.; *Petra* – stijena and *Logos* – pojam, misao, razum, objašnjenje
- Studij stijena je praktički izvor svih ideja o Zemljinoj prošlosti
- Poznavanje porijekla, starosti, rasprostiranja stijena pridonosi rješavanju velikog broja problema s kojima se susreće geologija a i prirodoslovje općenito
- Npr. evolucija magme i procesi nastajanja kore, tektonika ploča, nastanak mineralnih ležišta, ...



# Why, what, where?



# Od čistog užitka do ispitnog roka



# Magmatske stijene

- Magmatska stijena nastala skrutnjavanjem rastaljenog ili djelomično rastaljenog materijala kojeg nazivamo magma
- Metamorfna stijena je nastala iz bilo koje ranije postojeće stijene mineralnim, kemijskim i strukturnim promjenama u čvrstom stanju kao odgovor na promjene P, T, c u dubini Zemlje

# Petrogeni minerali

- kristaliziraju iz magme
- Glavni (bitni) minerali - nastali procesom koji je dao stijenu, ima ih  $>10\%$ , klasifikacija stijene
- Sporedni (značajni) minerali  $< 10\%$ , određuju podvrstu stijene
- Akcesorni nastali specifičnim geološkim događajima ali NE iz primarnih minerala

- Minerali mogu biti:
  - primarni - nastali direktno kristalizacijom iz magme u okviru magmatskog ciklusa
  - sekundarni - svi minerali koji nastaju u postmagmatskom stadiju iz primarnih minerala
    - trošenjem - P, T na površini
    - alteracijom >P, >T

# Melanokratski minerali, mafitni, femski

Olivin  $(\text{Mg}, \text{Fe})_2\text{SiO}_4$

Piroksen  $\text{XYZ}_2\text{O}_6$

- rompski (orto-)
- monoklinski (klino-)

Amfibol  $\text{A}_{0-1}\text{X}_2\text{Y}_5\text{Z}_8\text{O}_{22}(\text{OH}, \text{F}, \text{Cl})_2$

- rompski (orto-)
- monoklinski (klino-)

Biotit  $\text{XY}_{2-3}\text{Z}_4\text{O}_{10}(\text{OH})_2$

Flogopit

# Leukokratski minerali, salski, felsični

Kvarc  $\text{SiO}_2$

Feldspati (alk. felspati i plagioklasi) - $\text{KAlSi}_3\text{O}_8$ ,  $\text{NaAlSi}_3\text{O}_8$ ,  $\text{CaAl}_2\text{Si}_2\text{O}_8$

Feldspatoidi <<  $\text{SiO}_2$

# Minerali

- Kristalizacija iz magme



# Teksture i strukture magmatskih stijena

Tekstura - način na koji su minerali zauzeli prostor u stjeni  
homogena, fluidalna, vezikularna, mandulasta, aglomerirana ...

Struktura - važna za određivanje uvjeta postanka (geneza) i za klasifikaciju stijena

Izražena je:

- stupnjem kristaliniteta (holokristalina, hijalina, hipokristalina, hipohijalina)
- veličinom zrna (makrokristalina, afanitska, mikrokristalina, kriptokristalina)
- oblikom zrna (idiomorfna, hipidiomorfna, alotriomorfna)
- međusobnim odnosom i rasporedom minerala (zrnata, porfirna)

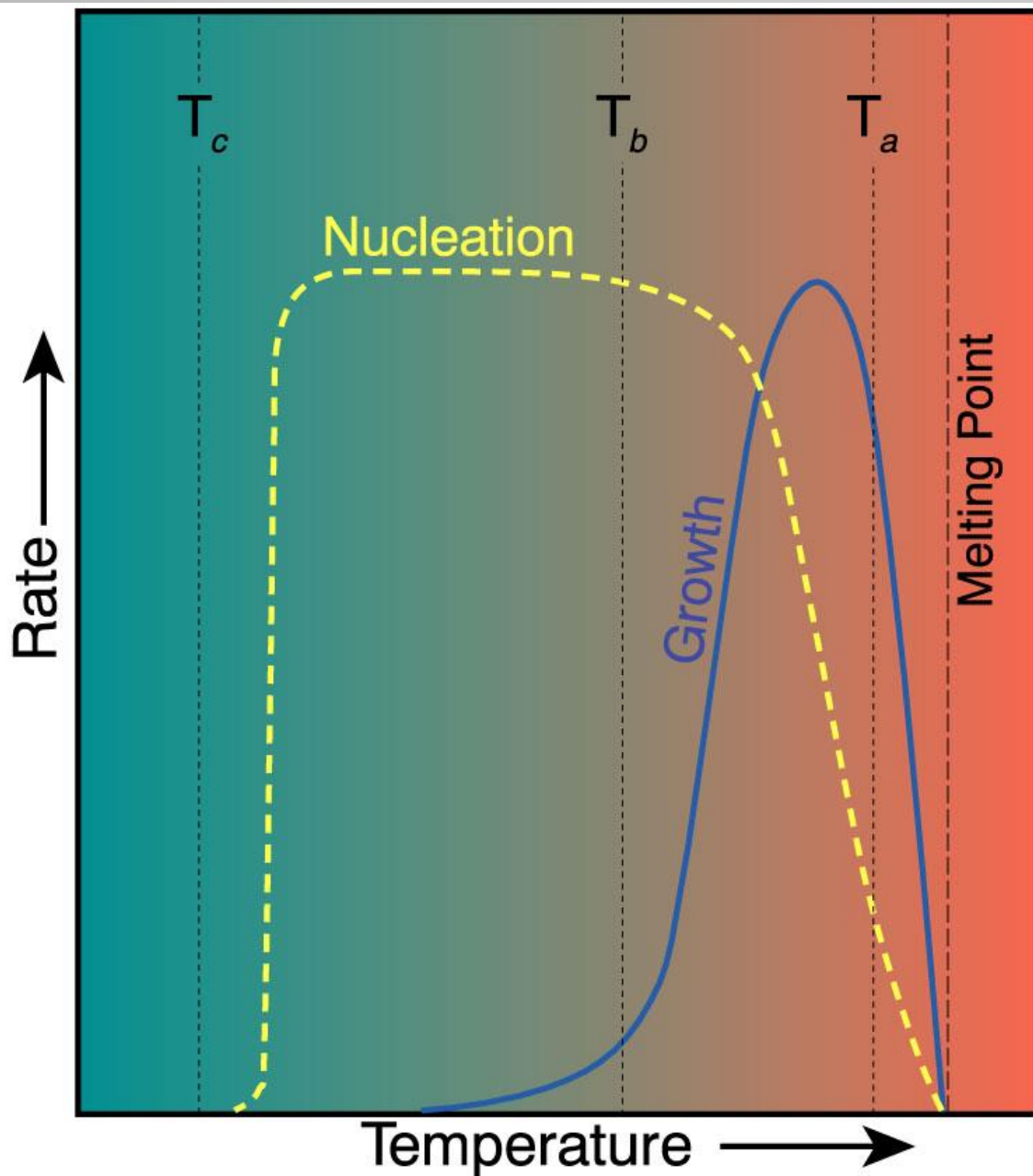
# Magmatske strukture

Slika I-1 Grafički prikaz odnosa količine nukleacije i brzine rasta rasta kristala u funkciji temperature ispod točke tališta.

Hlađenje koje neznatno odmiče temperaturu ( $T_a$ ) od tališta pogoduje brzom rastu i malom broju kristalizacijskih jezgara (nukleacija) te daje svega nekoliko krupnih zrna (efuziv).

Naglo hlađenje udaljava ravninu undercooling ( $T_b$ ), tako da sporiji rast i brojna nukleacija daje sitnozrnati mineralni agragat (intruziv).

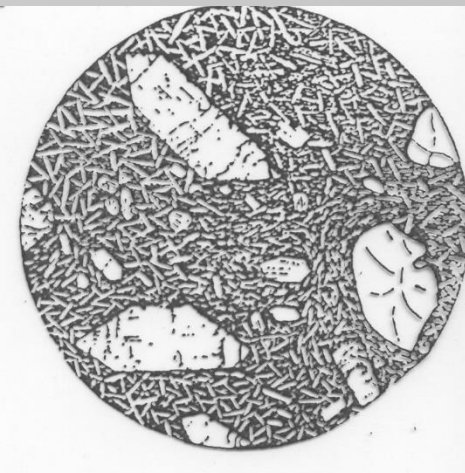
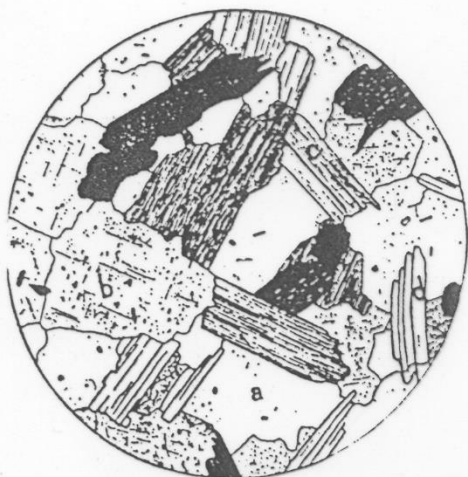
Vrlo naglo hlađenje daje malo ili ništa jezgara, nema rasta ( $T_c$ ) i nastaje staklo.



Intruziv

Žične

Efuziv



Zrnata struktura

Ofitska struktura

Porfirna struktura

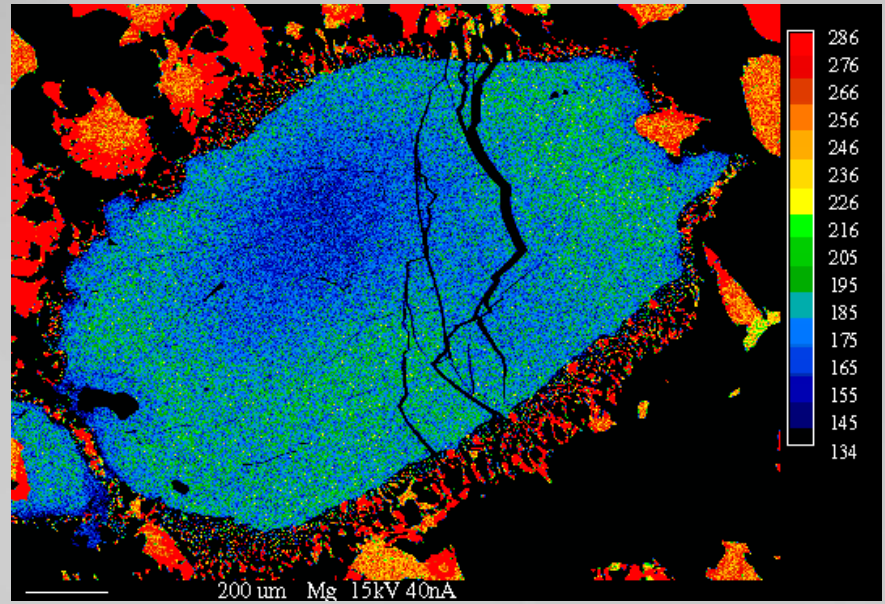
# Intruzivne stijene

- idiomorfno zrnata
- hipidiomorfno zrnata
- alotriomorfno (ksenomorfno) zrnata
- gabro struktura
- poikilitska struktura



• kelifitska struktura

- pertitska
- mirmekitska
- mikrografska



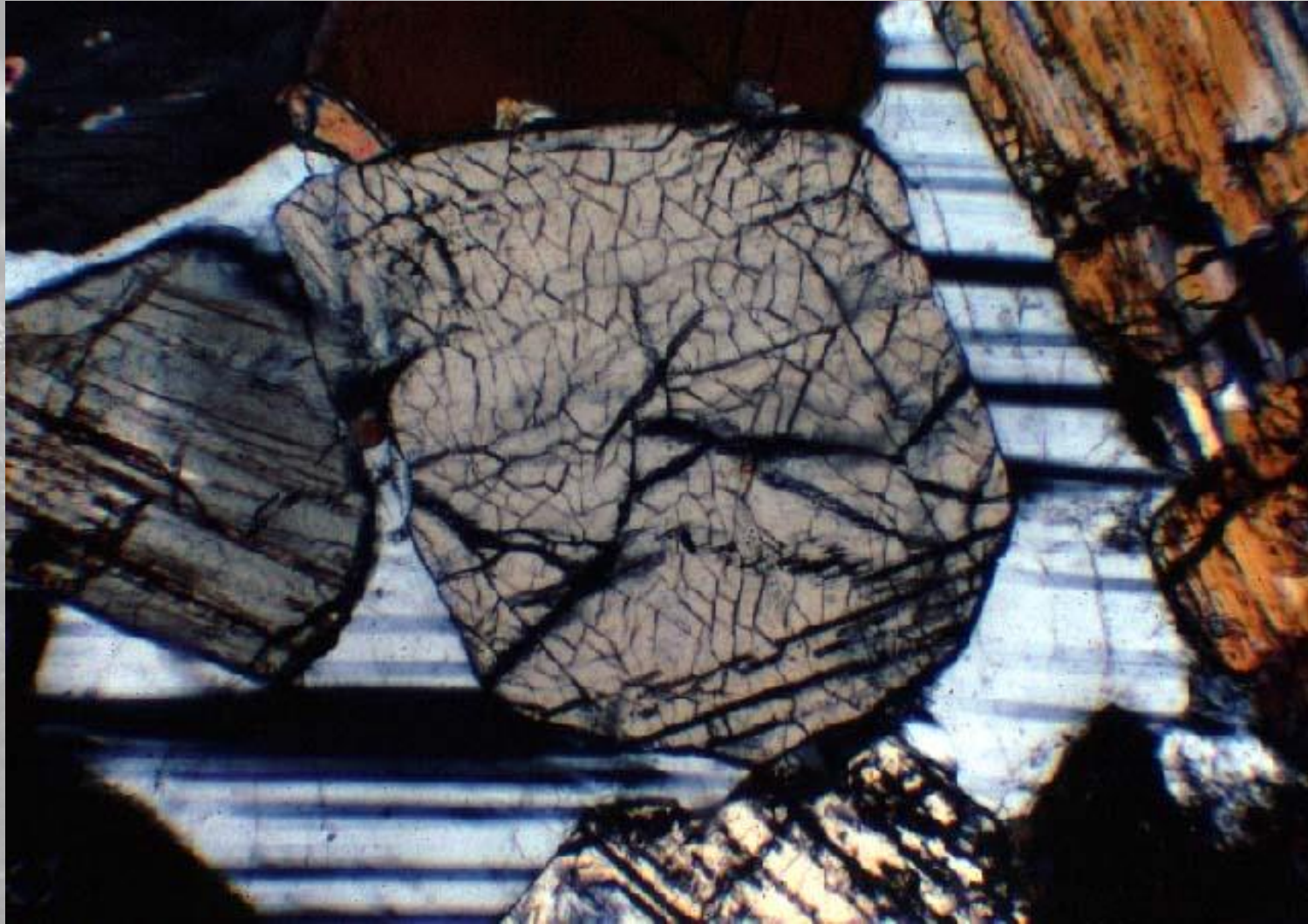
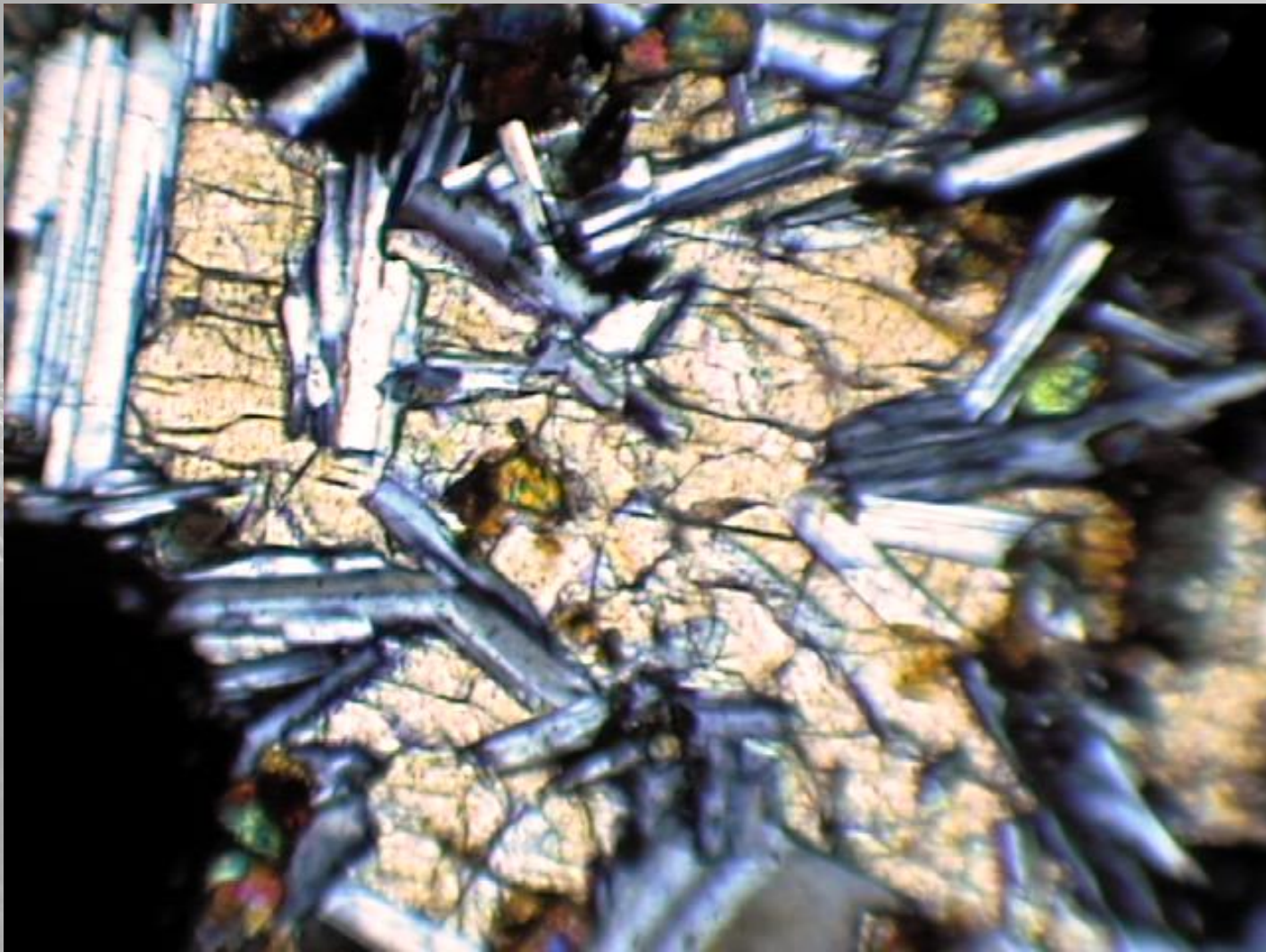
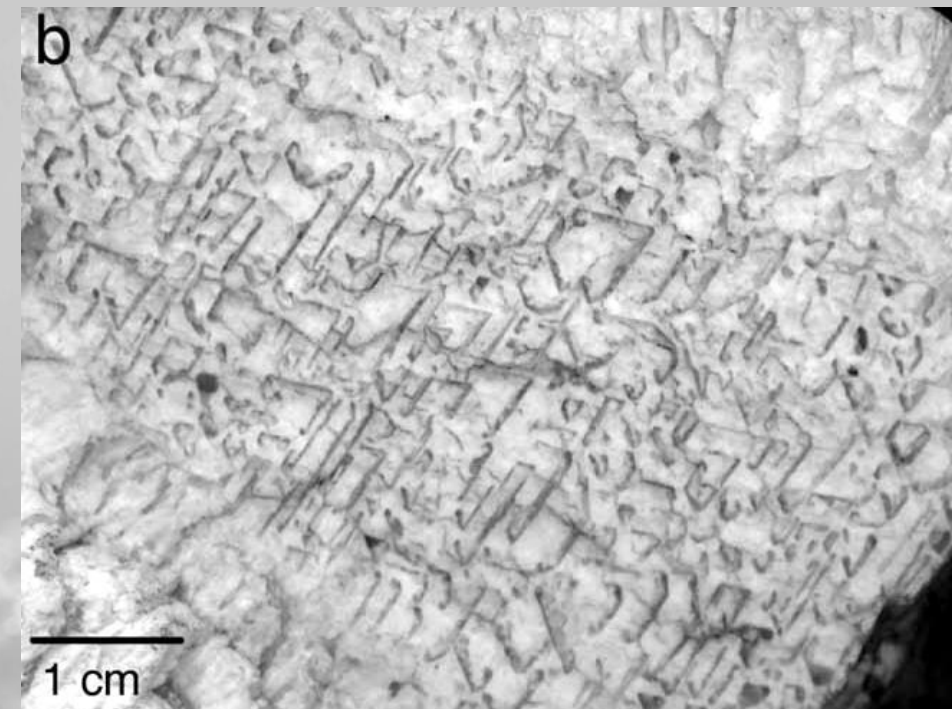
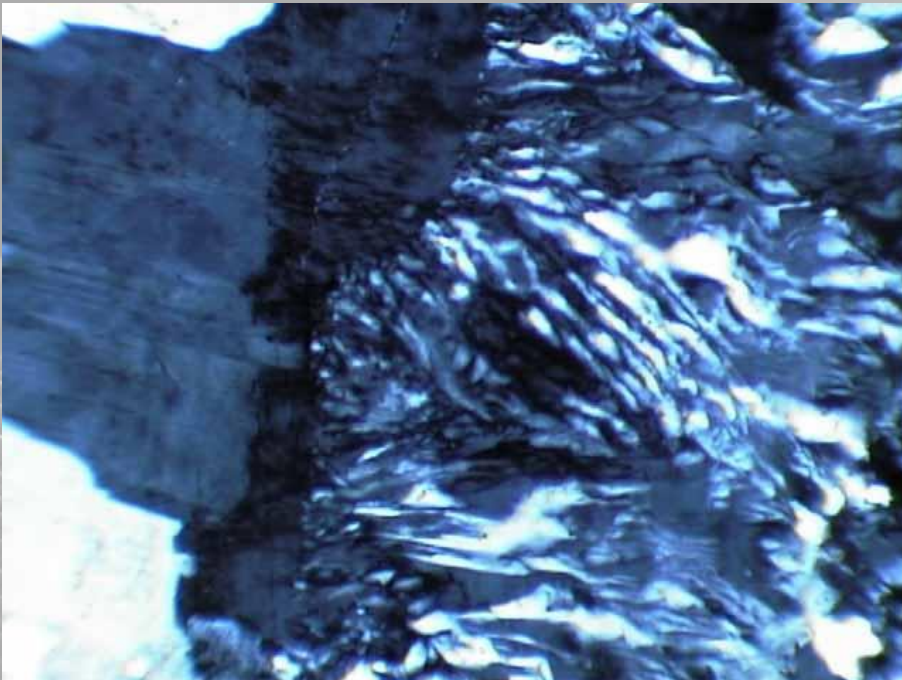


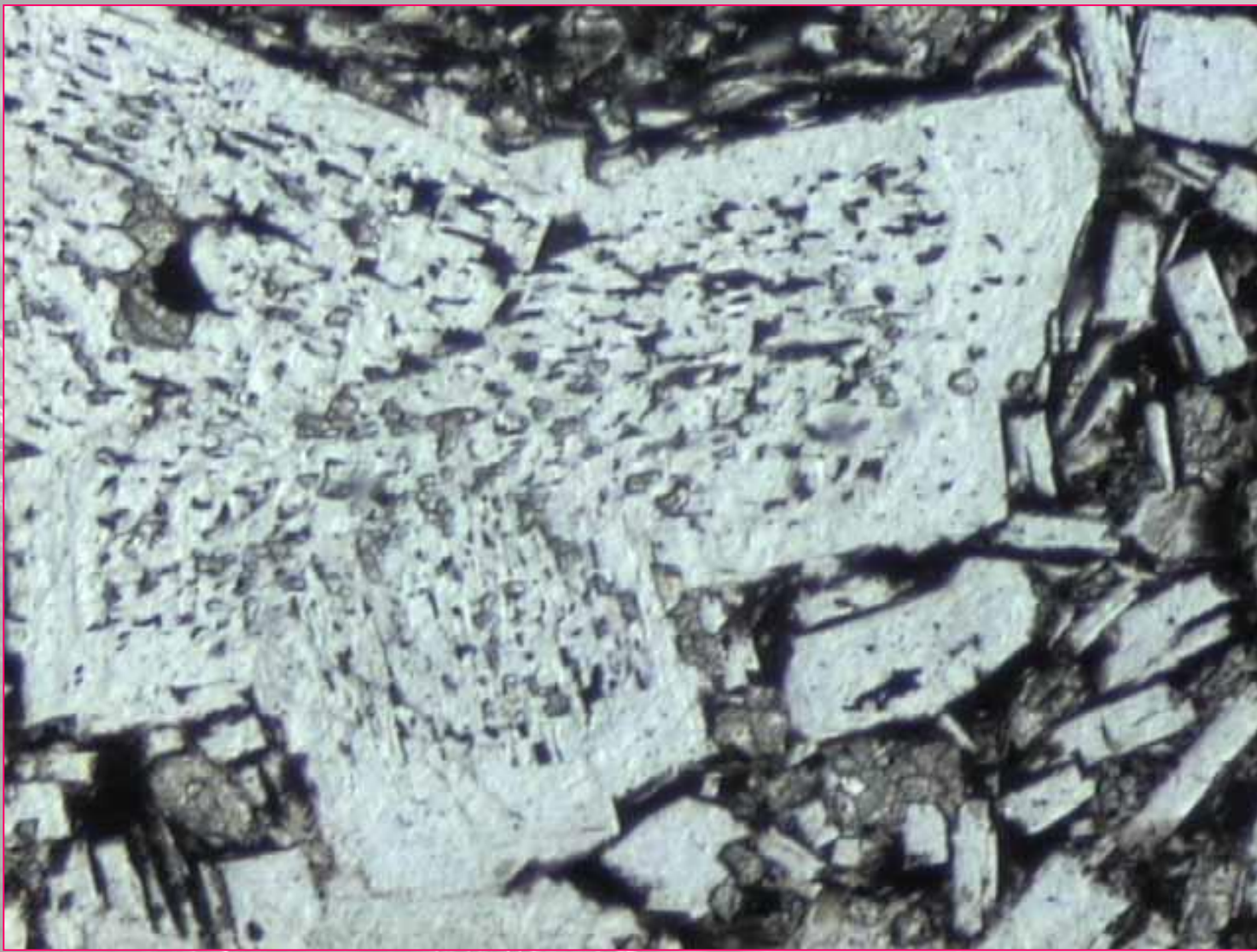
Figure I-3. Idiomorfan piroksen i intersticijski plagioklas čine intruzivnu holokristalinu zrnatu strukturu. Stillwater complex, Montana. Širina slike 5 mm. © John Winter and Prentice Hall.



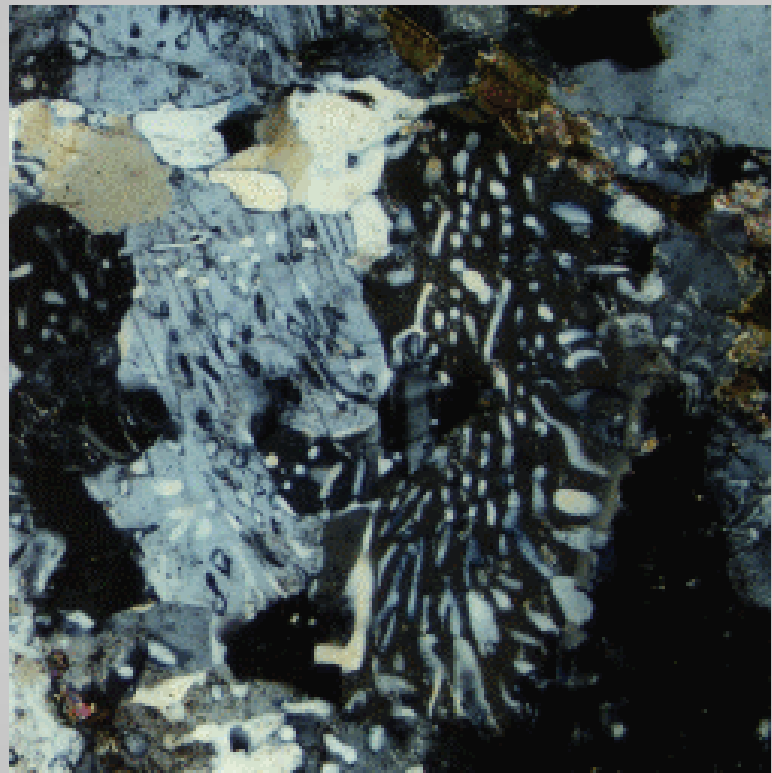
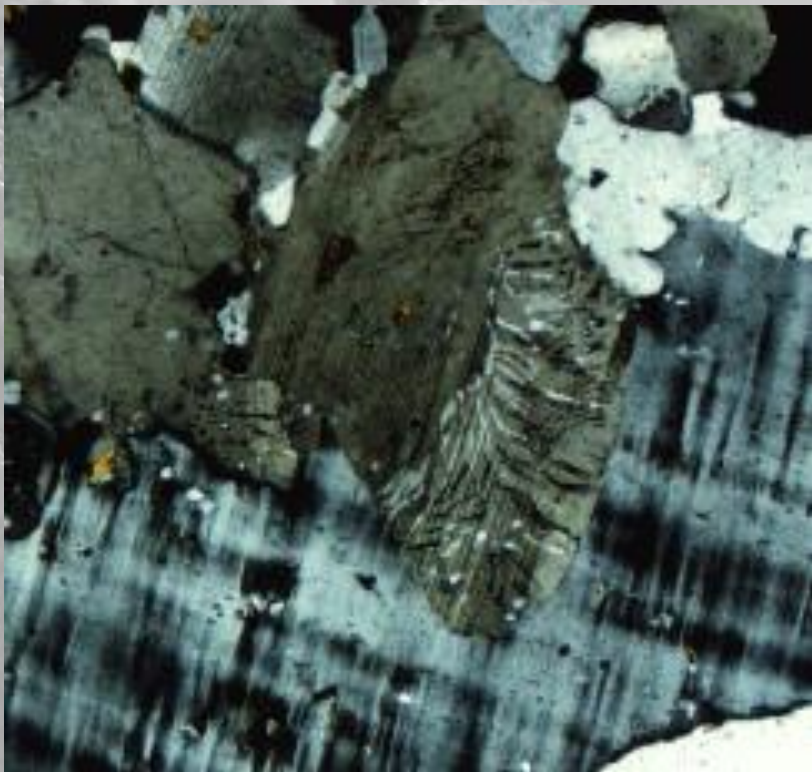
Slika I-4. Ofitska struktura. Piroksen uklapa isprepletene štapiće plagioklasa. Širina slike 1 mm. Skaergård intrusion, E. Greenland. © John Winter and Prentice Hall.



Slika I-5. a. Granofirsko prorastanje kvarca i alkalnog feldspata. Golden Horn granite, WA. Širina slike 1mm. b. mikroografska struktura: kvarcni kristal (tamnije) prorasta s alkalnim feldspatom (svijetlo) Laramie Range, WY. © John Winter and Prentice Hall.



Slika I-6. Poikilitkska, sitasta (sieve) struktura u fenokristalu plagioklasa. Rub i manja zrna bez uklopaka. Andesite, Mt. McLoughlin, OR. Širina slike 1 mm. © John Winter and Prentice Hall.



Slika I-8. Mirmekit formiran u plagioklasu na granici prema K-feldspatu. © L. Collins.  
<http://www.csun.edu/~vcgeo005>

# Efuzivne stijene

- holokristalina porfirna struktura
- vitrofirma
- 
- ofitska
- sferulitska
- perlitska
- hijalina



<http://www.alexstrekeisen.it>

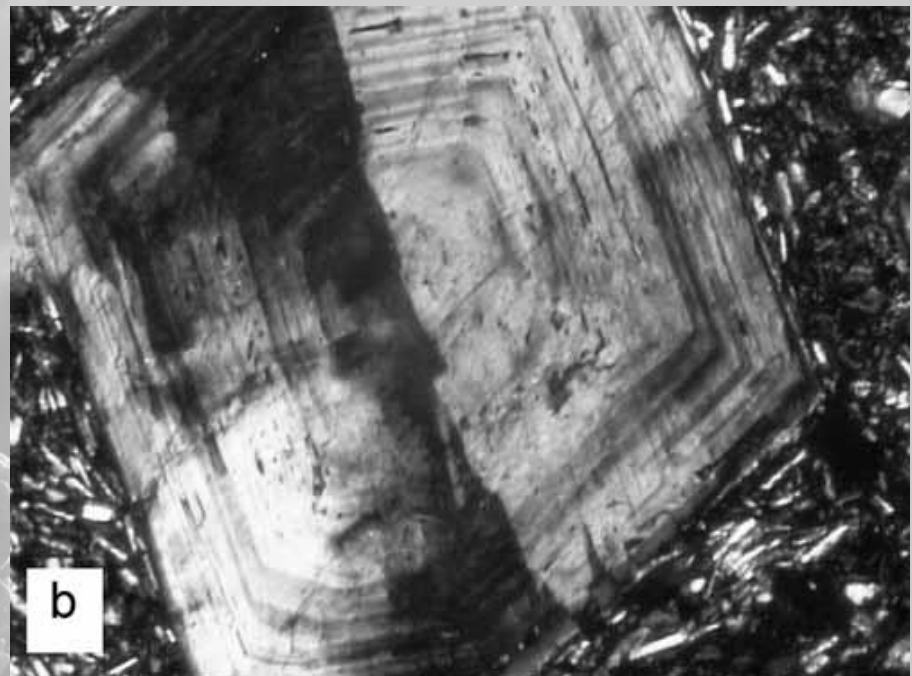
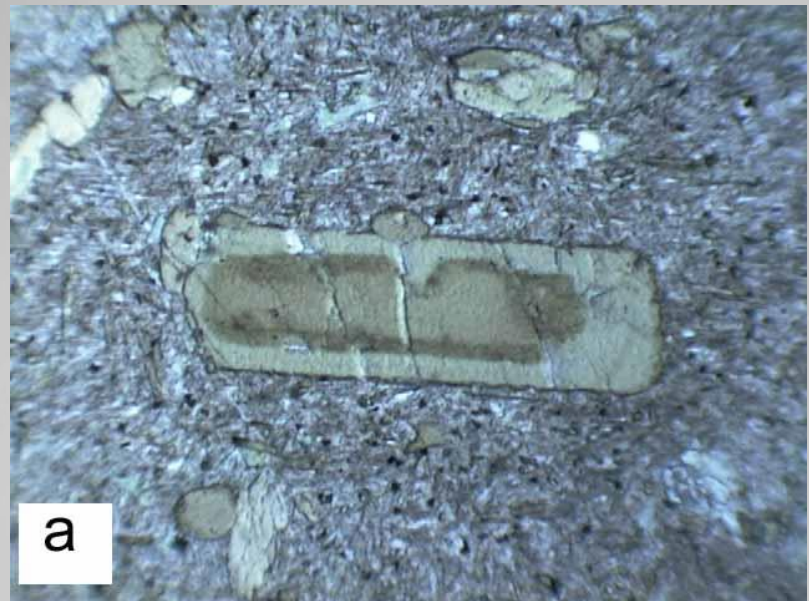


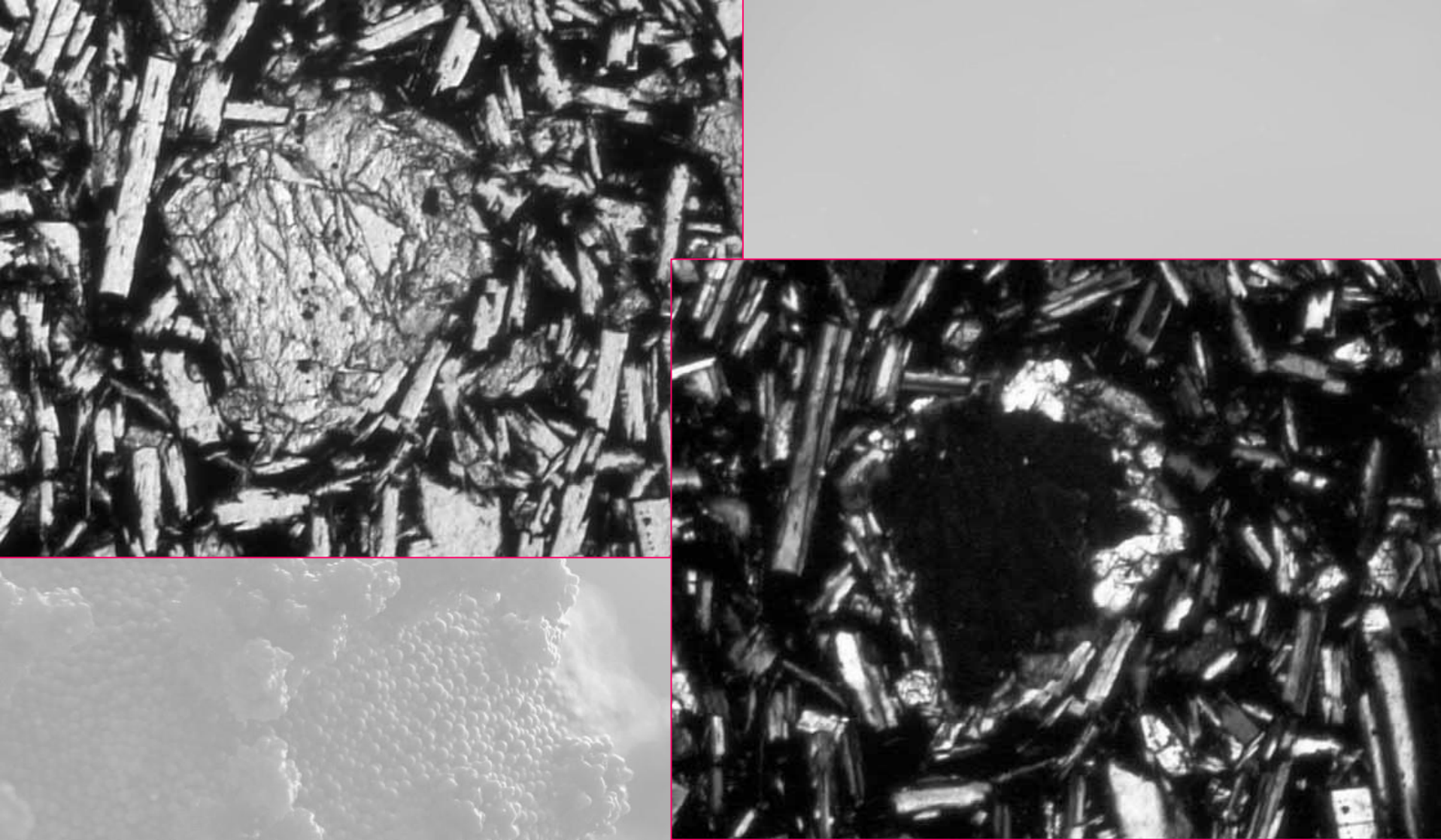
wikipedia



# Efuzivne strukture

I-9. a. Zonalni fenokristal (utrusak) hornblende u sitno-kristaliziranoj osnovi. Širina slike 1 mm. b. Zonalni sraslac plagioklasa (Karlovarski sraslački zakon). Andezit, Crater Lake, OR. Širina slike 0.3 mm. © John Winter and Prentice Hall.





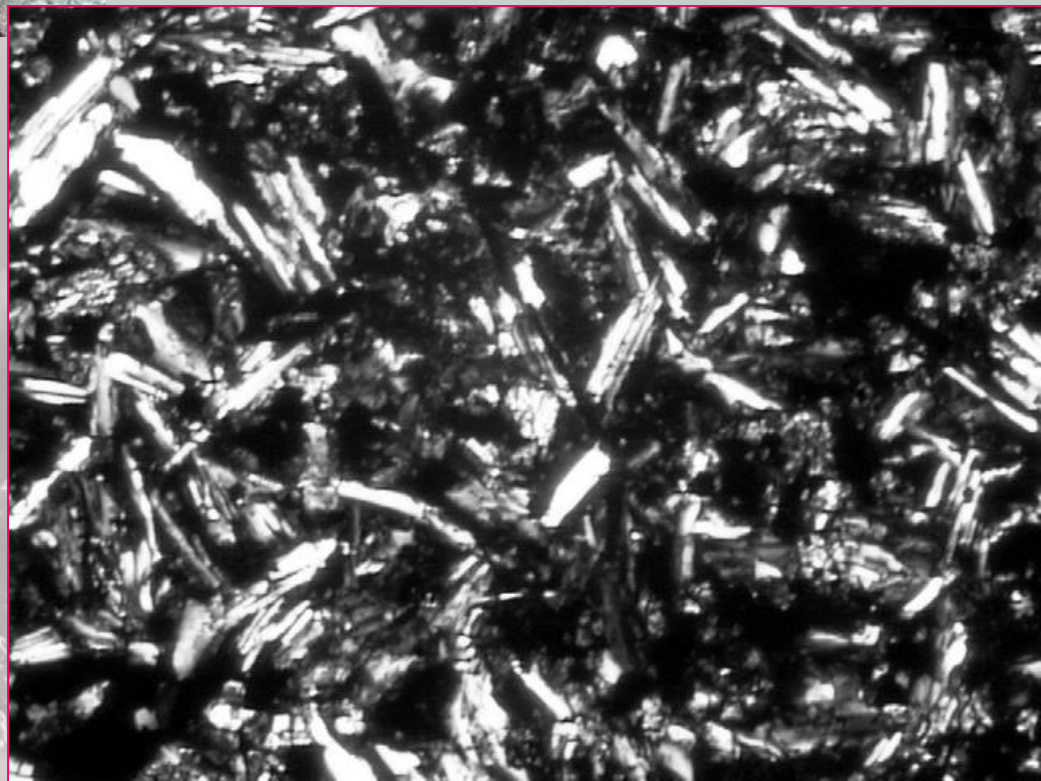
Slika I-11. Olivin okružen ortopiroksenom (a) N-; (b) N+, vidljiva korona od ortopiroksena. Bazalt-andezit, Mt. McLaughlin, Oregon. Širina slike ~ 5 mm. © John Winter and Prentice Hall.

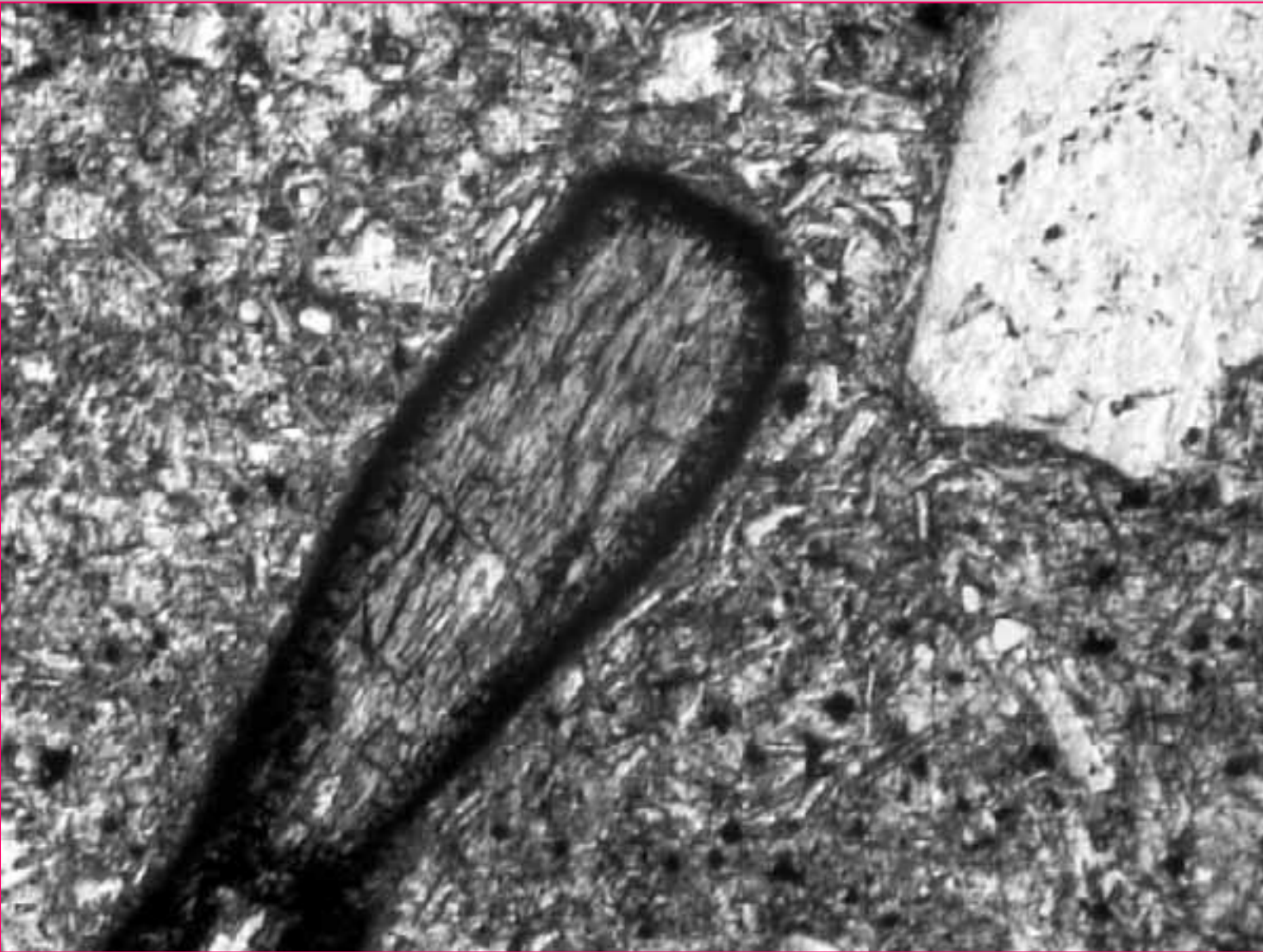


Slika I-12. Tragovi tečenja i deformacija (flow banding) u andezitu. Mt. Rainier, WA. © John Winter and Prentice Hall.



Slika I-13. Intergranularna struktura u bazaltu. Columbia River Basalt Group, Washington. Širina slike 1 mm. © John Winter and Prentice Hall.

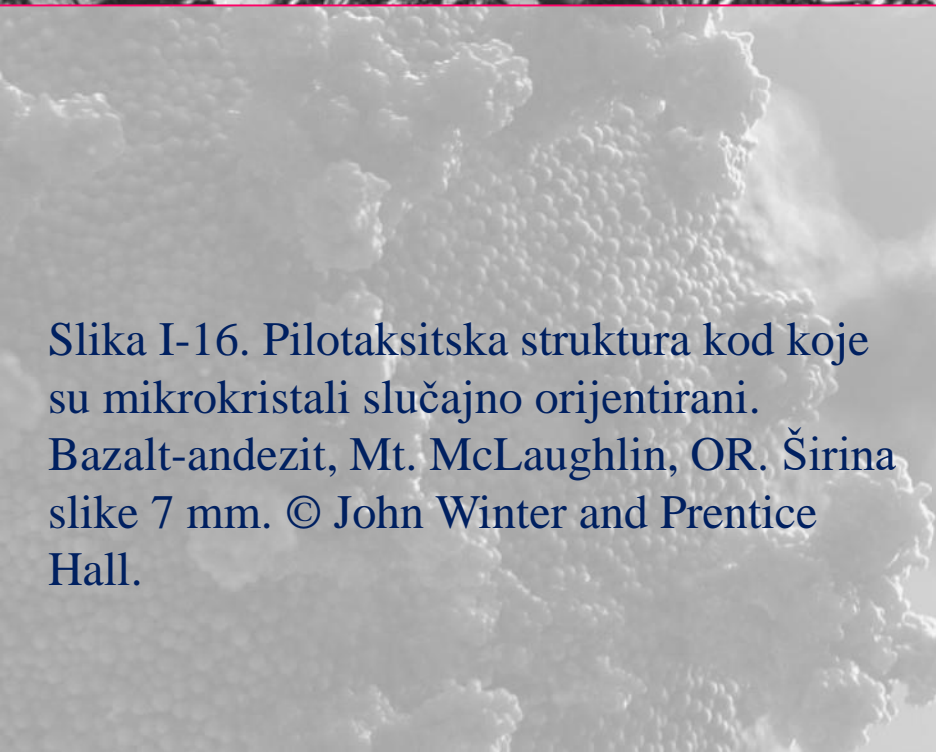




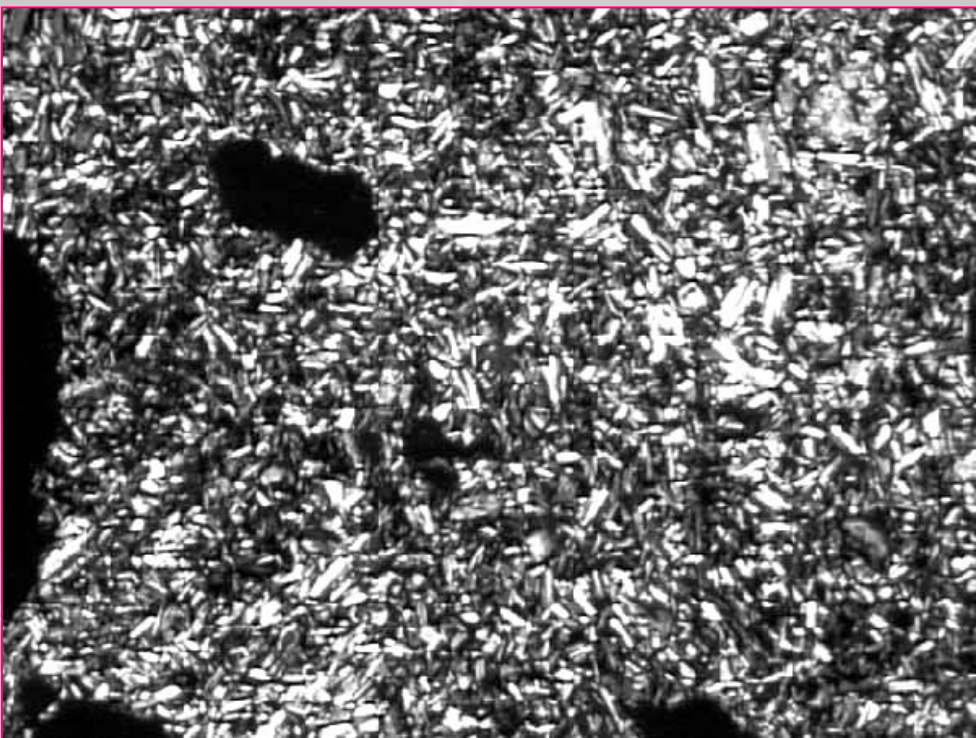
Slika I-14. Fenokristal hornblende s opacitskim rubom od Fe-oksida plus piroksen. Struktura nastala uslijed pada pritiska tijekom erupcije, andezit. Crater Lake, OR. Širina slike 1 mm. © John Winter and Prentice Hall.



Slika I-15. Trahitna struktura kod koje su mikrokristali plagioklasa usmjereni uslijed tečenja lave i povijaju se oko fenokristala. (P). Trahit, Njemačka. Širina slike 1 mm. Prema MacKenzie et al. (1982). © John Winter and Prentice Hall.



Slika I-16. Pilotaksitska struktura kod koje su mikrokristali slučajno orijentirani. Bazalt-andezit, Mt. McLaughlin, OR. Širina slike 7 mm. © John Winter and Prentice Hall.



# Kemijski sastav: Elementi

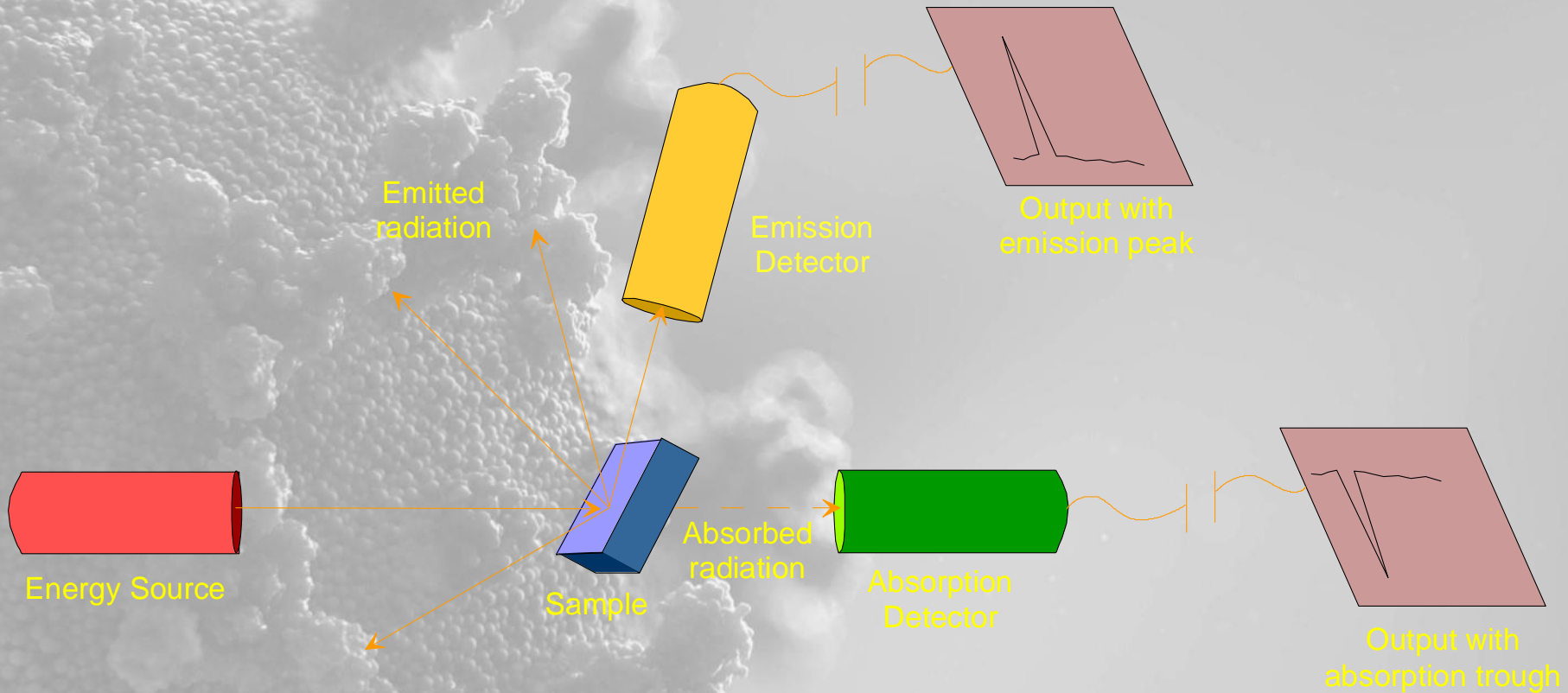
⇒ Geokemija magmatskih i metamorfnih stijena

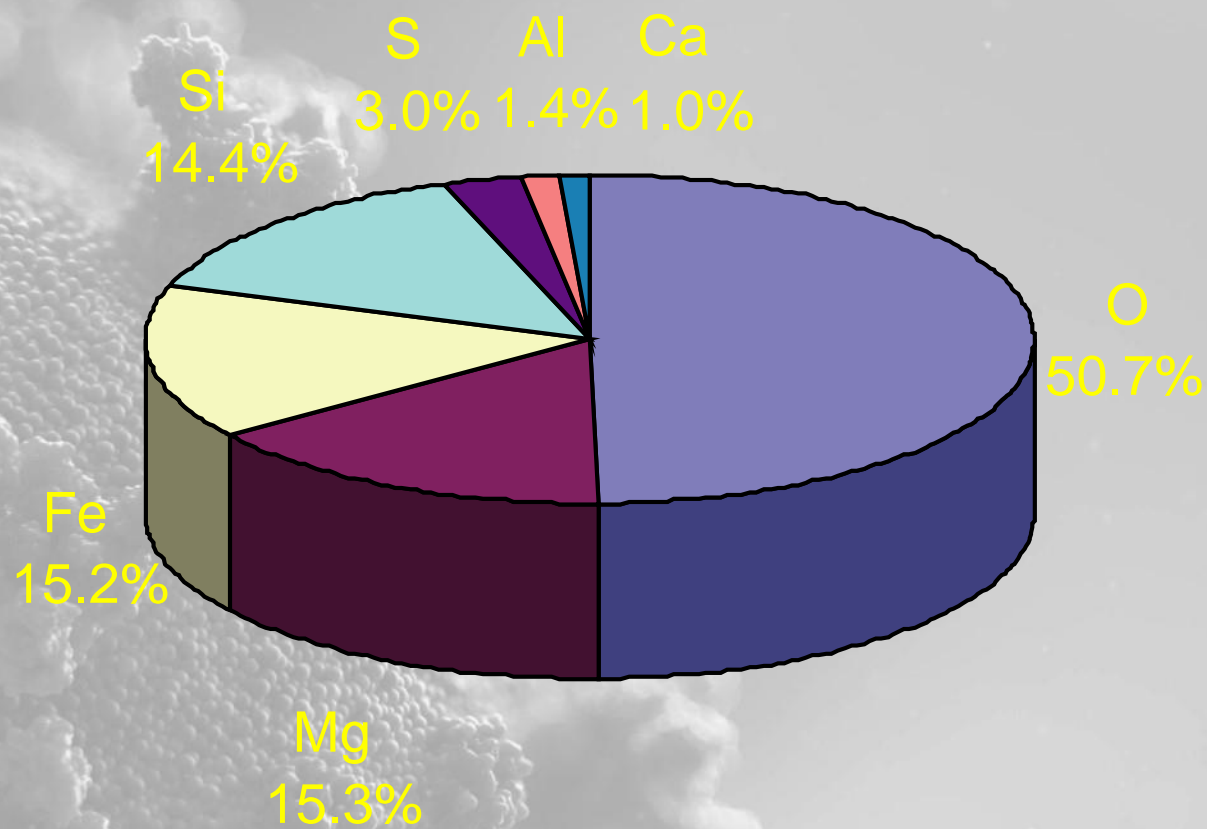
Magma - prirodna, homogena, kompleksna uglavnom silikatna taljevina koja se odlikuje svojim kemijskim sastavom, viskozitetom, gustoćom, temperaturom i tlakom

⇒ stijena

“Mokra kemija”: gravimetrija/volumetrija, klasične metode, spore

# Moderne spektroskopske tehnike - fazne i elementne analize (AES, AAS, XRF, XRD)





Slika I-18. Relativna zastupljenost sedam najčešćih elemenata koji čine 97% mase Zemlje.  
An Introduction to Igneous and Metamorphic Petrology, by John Winter , Prentice Hall.

Element	Wt % Oxide	Atom %
O		60.8
Si	59.3	21.2
Al	15.3	6.4
Fe	7.5	2.2
Ca	6.9	2.6
Mg	4.5	2.4
Na	2.8	1.9

Zastupljenost elemenata u zemljinoj kori

Makro (major) elementi: > 1%

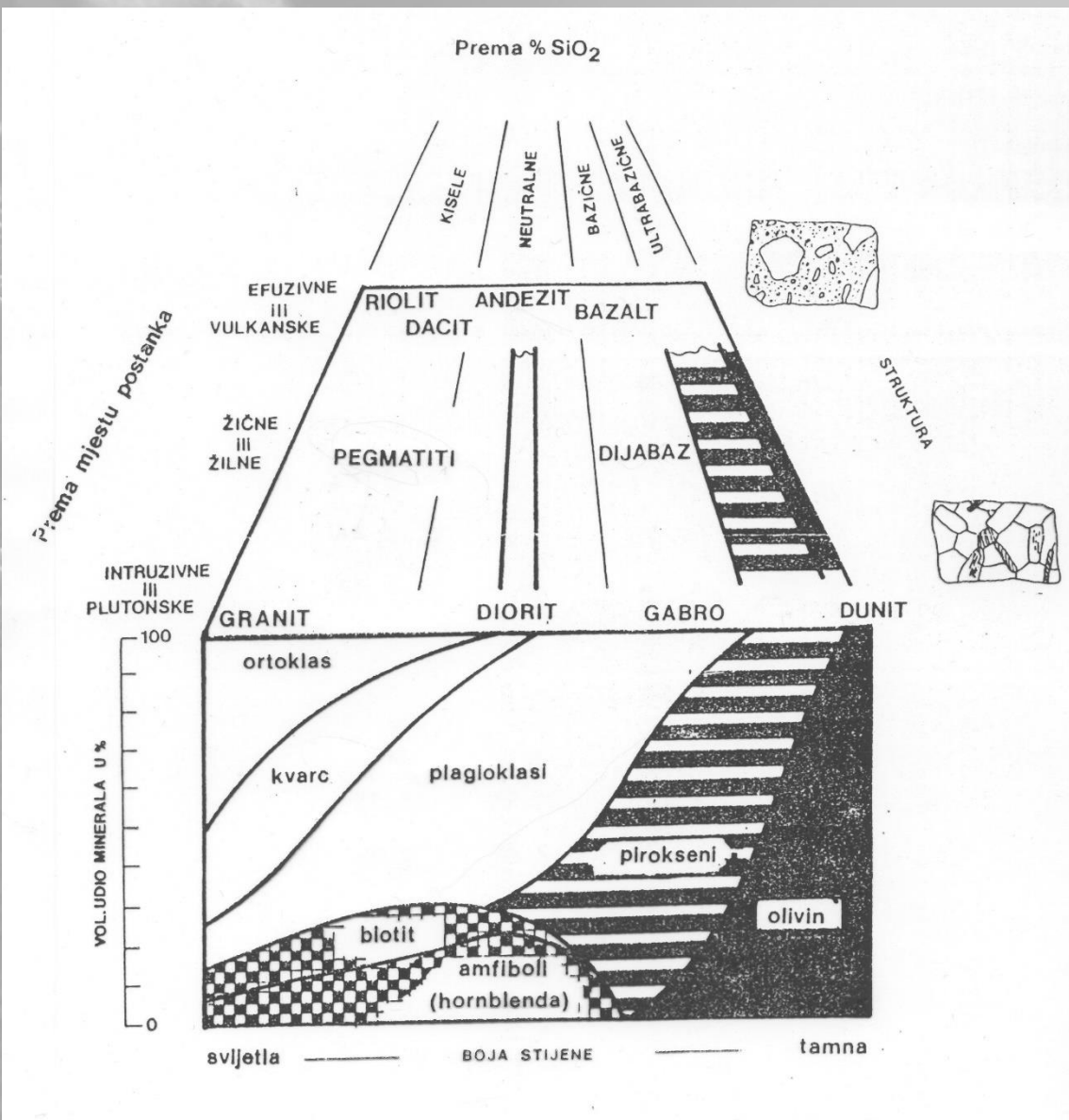
$\text{SiO}_2$   $\text{Al}_2\text{O}_3$   $\text{FeO}^*$   $\text{MgO}$   $\text{CaO}$   $\text{Na}_2\text{O}$   $\text{K}_2\text{O}$   $\text{H}_2\text{O}$

Mikro (minor) elementi: 0.1 - 1%

$\text{TiO}_2$   $\text{MnO}$   $\text{P}_2\text{O}_5$   $\text{CO}_2$

Elementi u tragovima (trace) < 0.1%

# Udio SiO<sub>2</sub> u sastavu minerala



Mineral	tež. % SiO <sub>2</sub>
albit	69
amfiboli	44-58 (30)
anortit	43
biotit	35-39
fajalit	30
forsterit	41
kvarc	100
leucit	54
ortoklas	64
pirokseini	46-57 (30)

# Kemijska analiza stijene

	Peridotit	Bazalt	Andezit	Riolit
SiO <sub>2</sub>	42.26	49.20	57.94	72.82
TiO <sub>2</sub>	0.63	1.84	0.87	0.28
Al <sub>2</sub> O <sub>3</sub>	4.23	15.74	17.02	13.27
Fe <sub>2</sub> O <sub>3</sub>	3.61	3.79	3.27	1.48
FeO	6.58	7.13	4.04	1.11
MnO	0.41	0.20	0.14	0.06
MgO	31.24	6.73	3.33	0.39
CaO	5.05	9.47	6.79	1.14
Na <sub>2</sub> O	0.49	2.91	3.48	3.55
K <sub>2</sub> O	0.34	1.10	1.62	4.30
H <sub>2</sub> O+	3.91	0.95	0.83	1.10
Total	98.75	99.06	99.3	99.50

# CIPW Normativni sastav

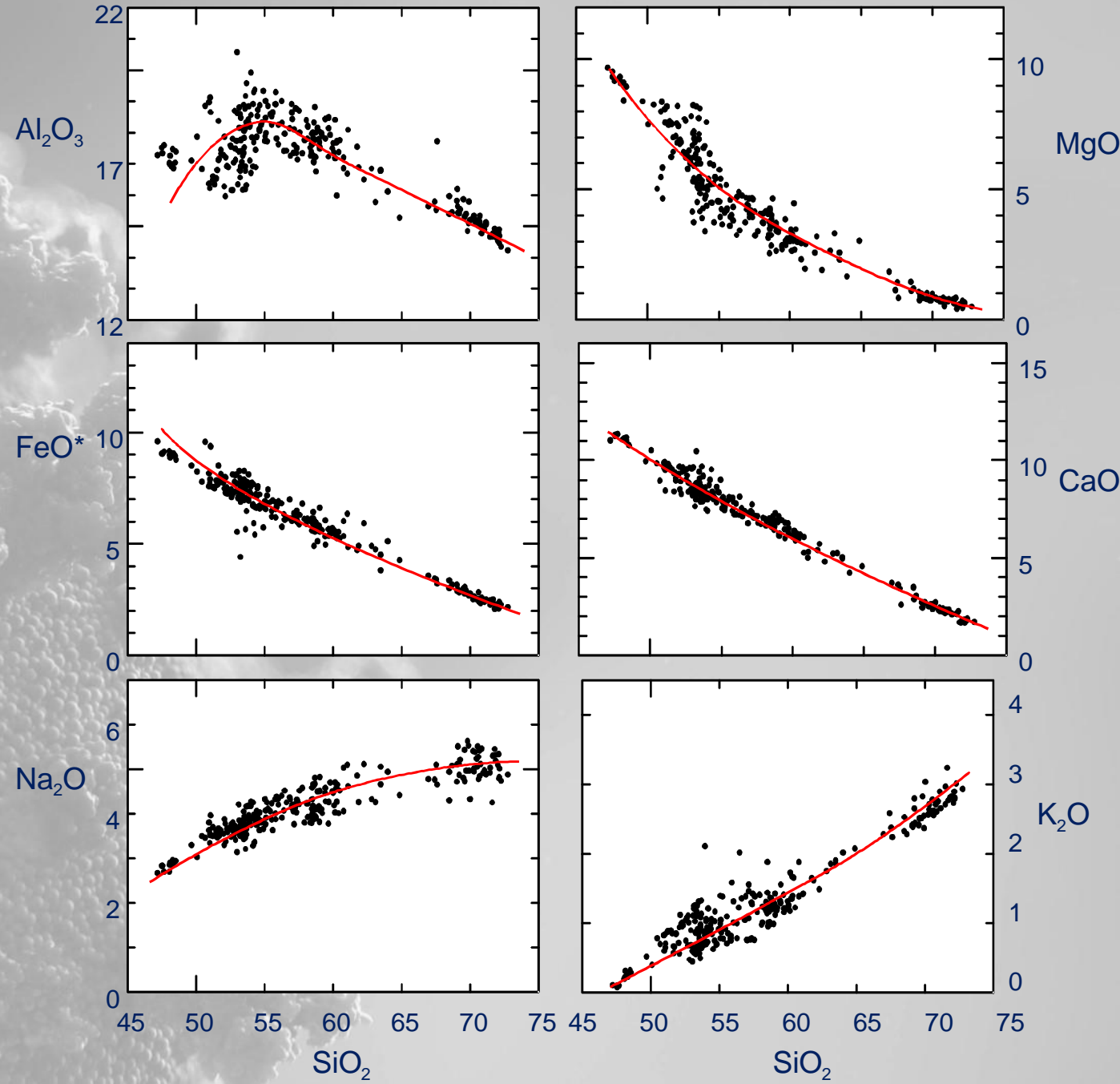
- Modalni - volumen opaženih minerala (%)
- Normativni - izračunati “idealizirani” sastav

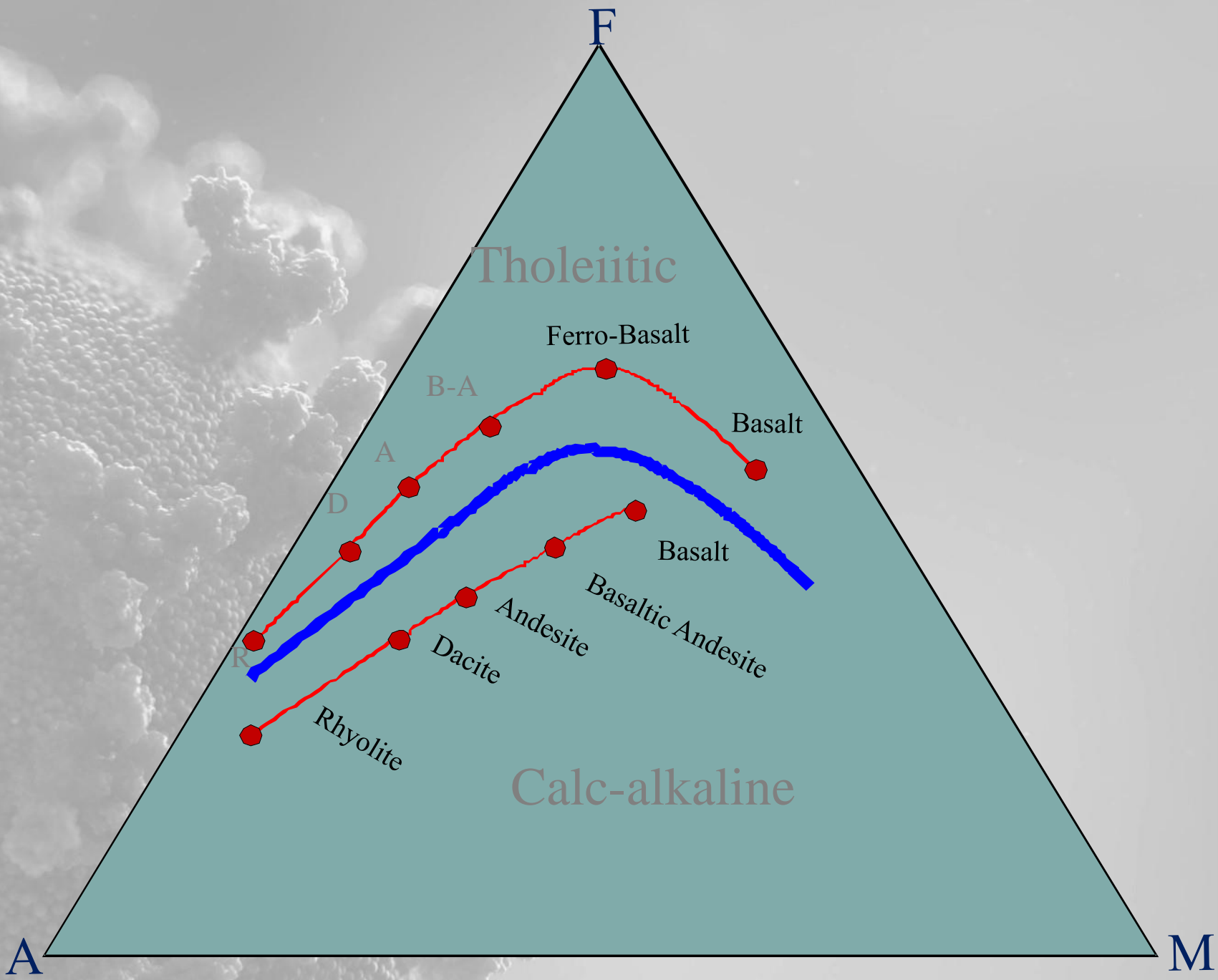
## Varijacijski dijagrami

Kako prikazati kemijske podatke?

# Bivarijantni (x-y) dijagrami

## Harker dijagram





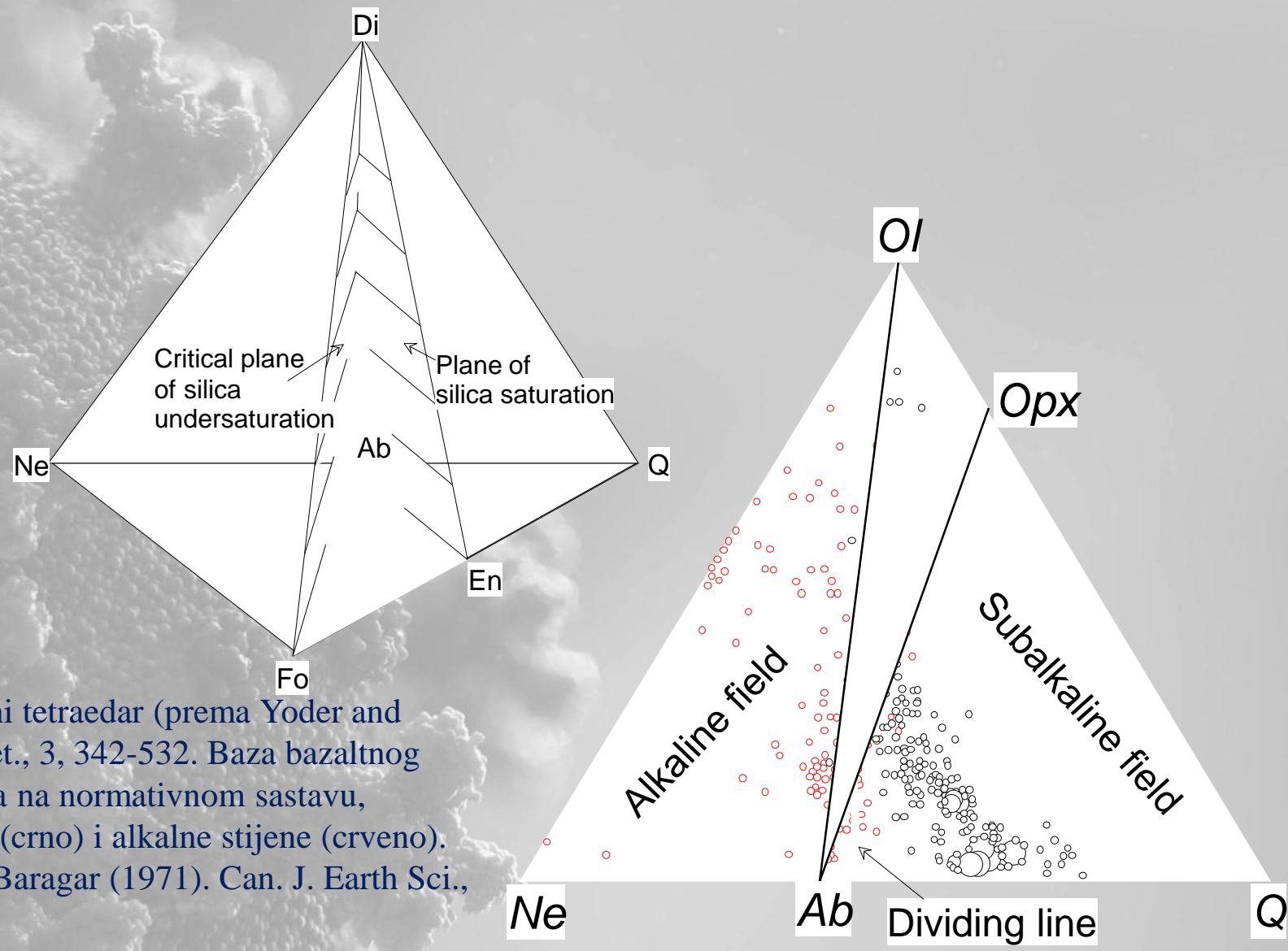
# Magmatske serije

Može li se kemija iskoristiti za razlikovanje magmatskih serija (familija, tipova)?

Neki od kemijskih elemenata vrlo upotrebljivi za razlikovanje magmatskih grupa

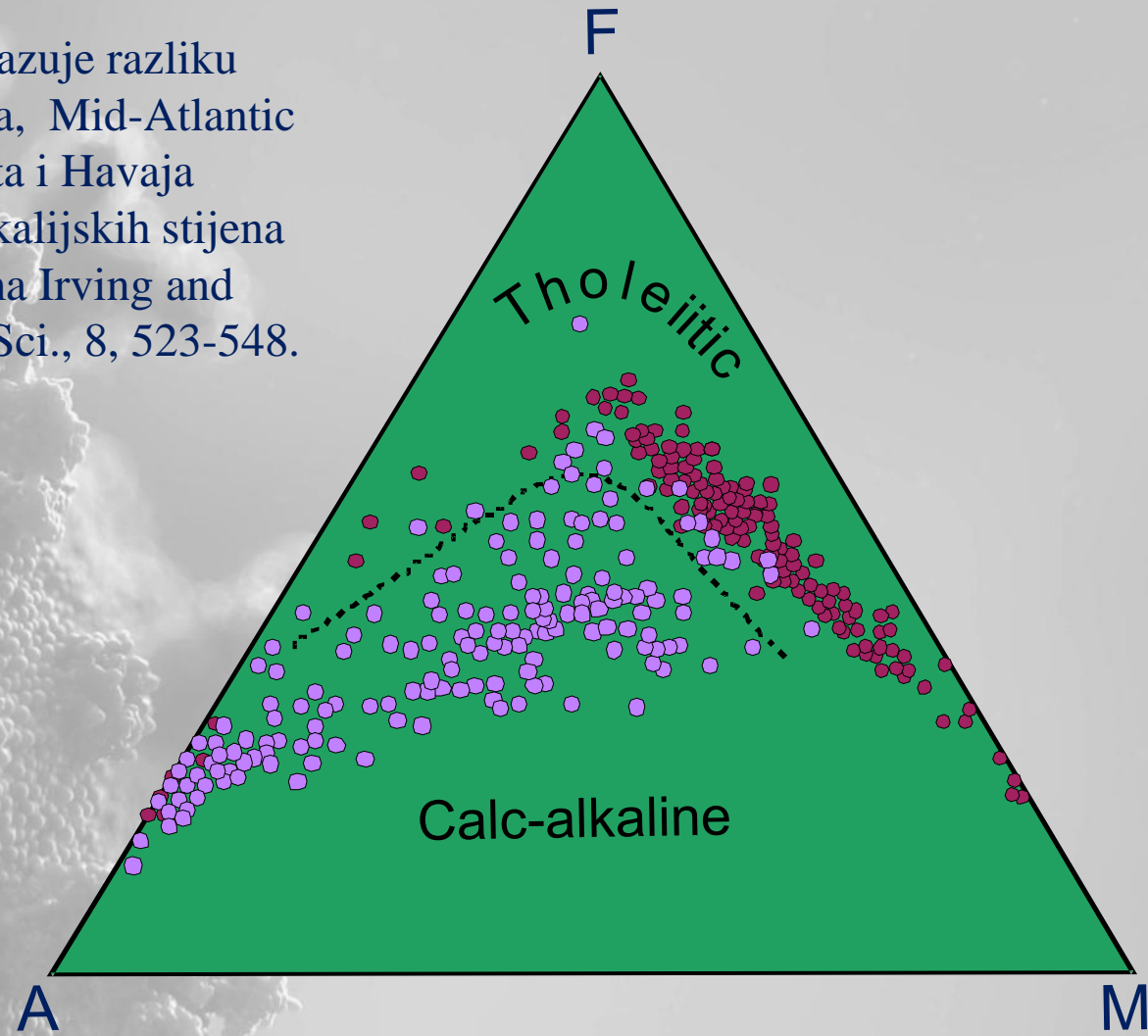
- Ukupne alkalije ( $\text{Na}_2\text{O} + \text{K}_2\text{O}$ )
- Silicij ( $\text{SiO}_2$ ) i zasićenje silicijem saturation
- Aluminij ( $\text{Al}_2\text{O}_3$ )

# Bazaltni tetraedar i Ne-Ol-Q trokomponentni dijagram Alkalne i subalkalne magme



# AFM dijagram: dalje dijeli subalkalne magme na toleitnu i kalcijsko-alkalijsku seriju

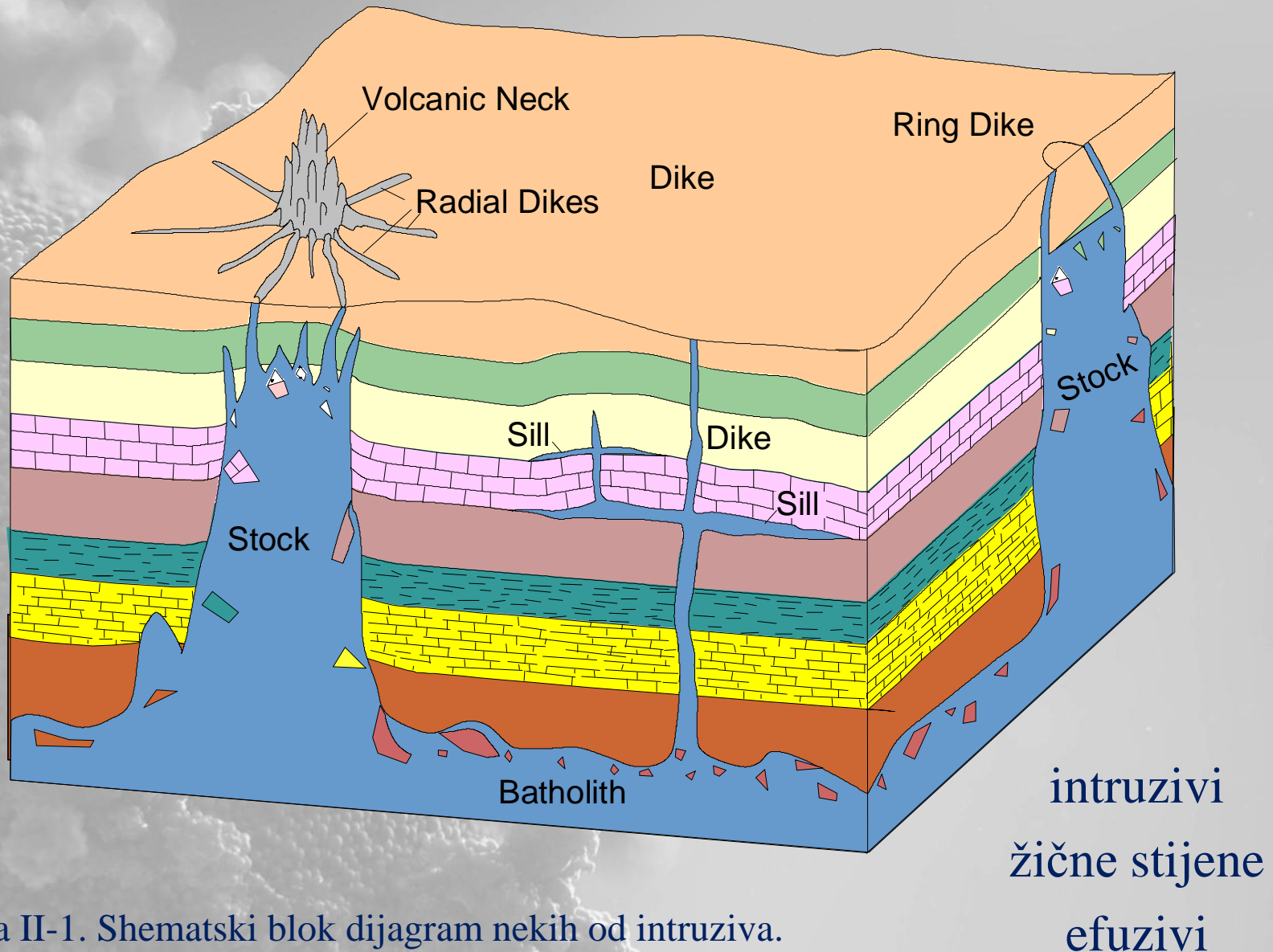
Slika I-22. AFM dijagram pokazuje razliku između toleitnih stijena Islanda, Mid-Atlantic Ridge, Columbia River Basalta i Havaja (crveni krugovi) i kalcijsko-alkalijskih stijena Cascad-a (rozi krugovi). Prema Irving and Baragar (1971). Can. J. Earth Sci., 8, 523-548.



Istraživanja širom svijeta pokazuju značajne razlike između te tri serije

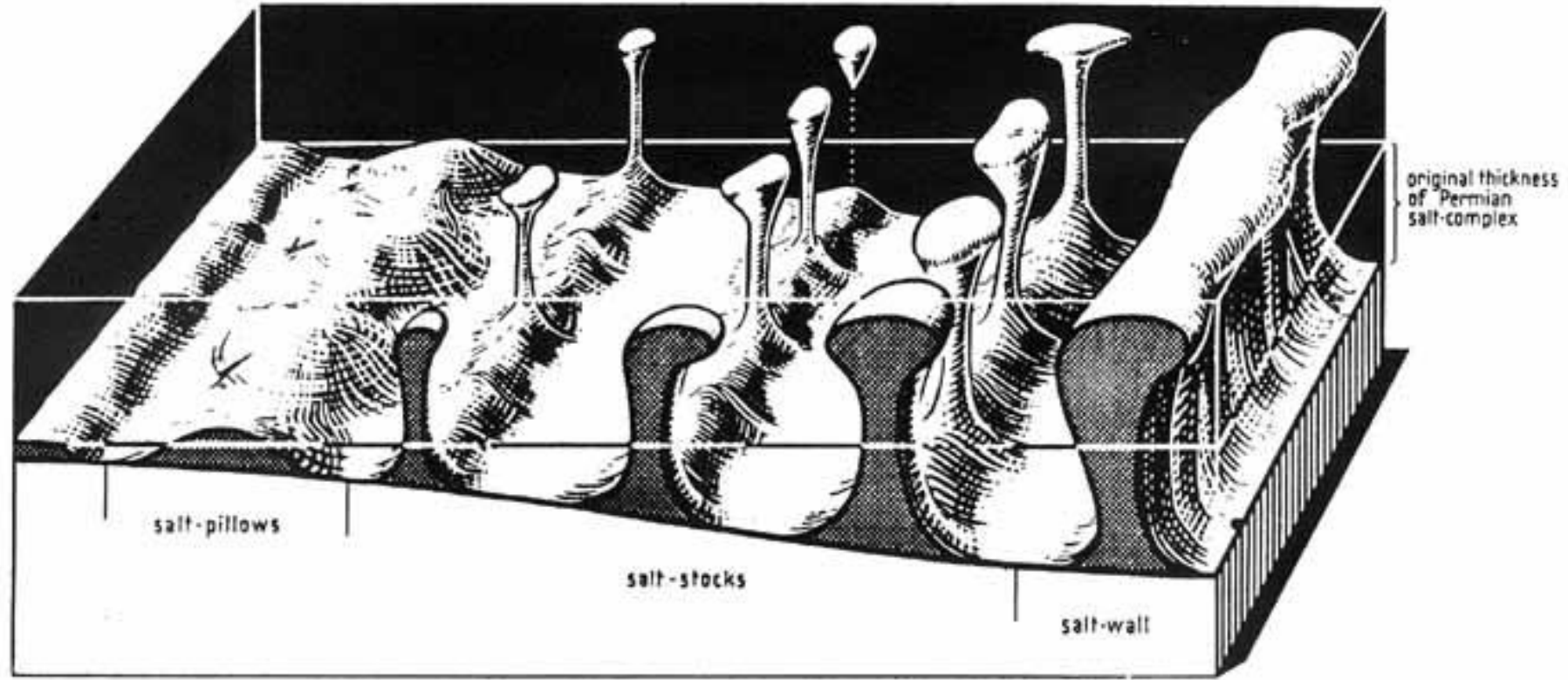
Karakteristična serija	Rub ploče		Unutar ploče	
	Konvergent.	Divergent.	Oceanske	Kontinent.
Alkalijska	da		da	da
Toleitna	da	da	da	da
Kalcijsko-alkal.	da			

# Načini pojavljivanja magmatskih stijena



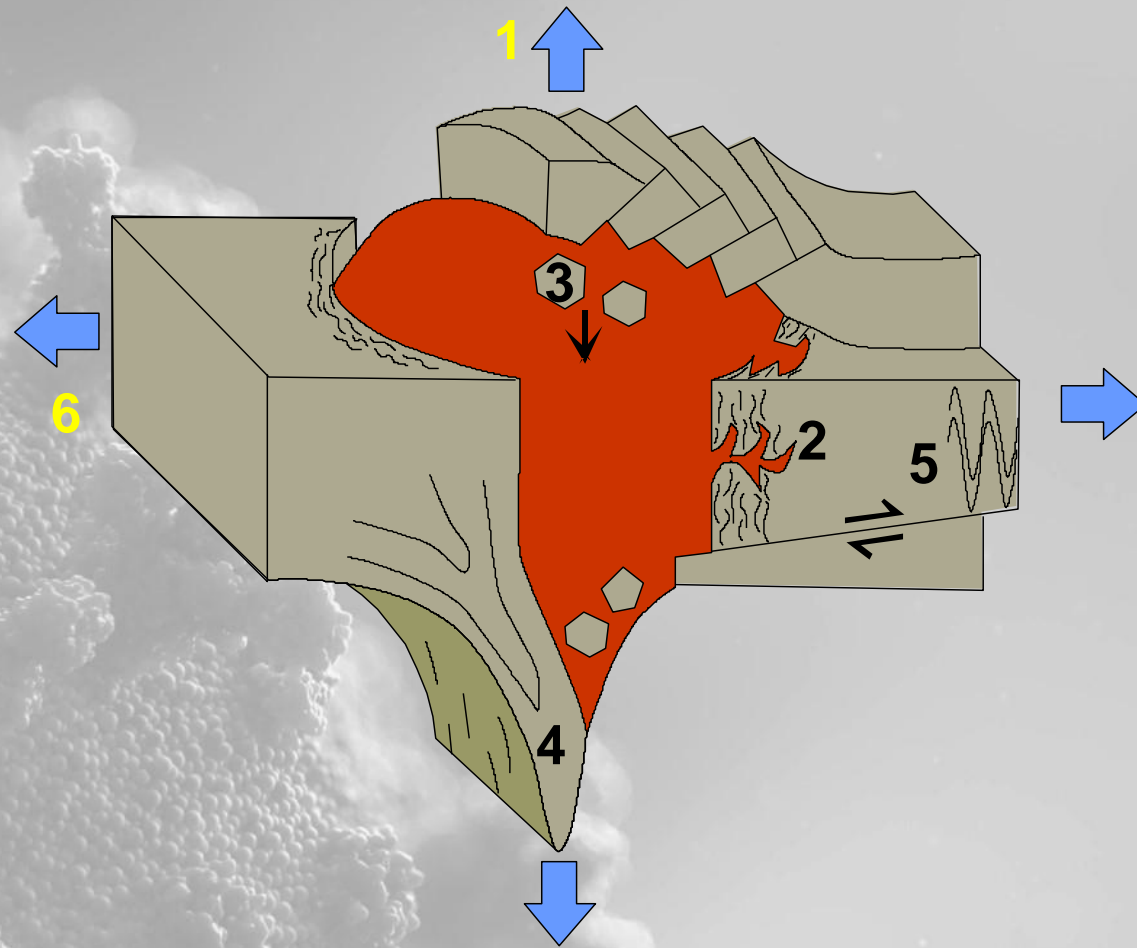
Slika II-1. Shematski blok dijagram nekih od intruziva.

- Batolit
  - velike dimenzije
  - nepravilan oblik
  - odsutnost podloge (nepoznata)
  - diskordantan odnos
  - izduženi II osima planinskih vijenaca
- Štok (greda)
  - manje površine od  $100 \text{ km}^2$
  - Apofize
  - Ksenoliti (enklave)

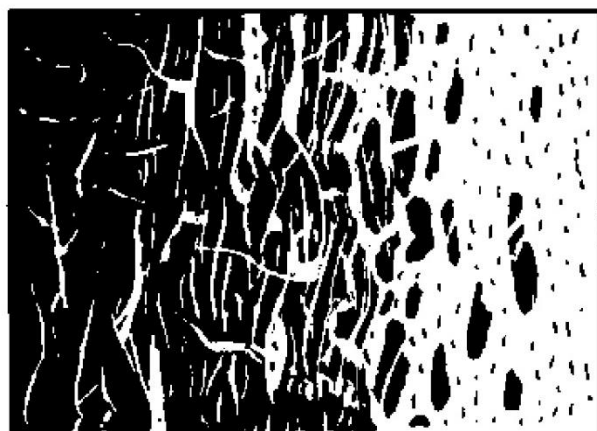


Slika II-7. Blok dijagram solnih dijapira ispod površine, sjeverna Njemačka. Prema Trusheim (1960), Bull. Amer. Assoc. Petrol. Geol., 44, 1519-1540 © AAPG.

# Načini pojavljivanja magmatskih stijena



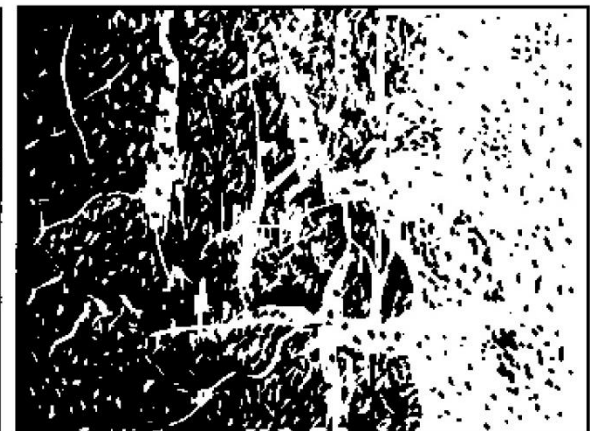
Slika II-2. Prikaz utiskivanja plutona. 1- boranje i izdizanje krovine; 2- asimilacija stijena na kontaktu, parcijalno taljenje, taljenje u pojedinim zonama; 3- uklapanje ksenolita; 4- deformacija rubnih djelova okolnih stijena (ductile rock deformation); 5- bočni pomak stijenki boranjem ili rasjedanjem; 6- ( i 1)- utiskivanje u ekstenzijski okoliš. Prema Paterson et al. (1991), Contact Metamorphism. Rev. in Mineralogy, 26, pp. 105-206. © Min. Soc. Amer.



a. Injected



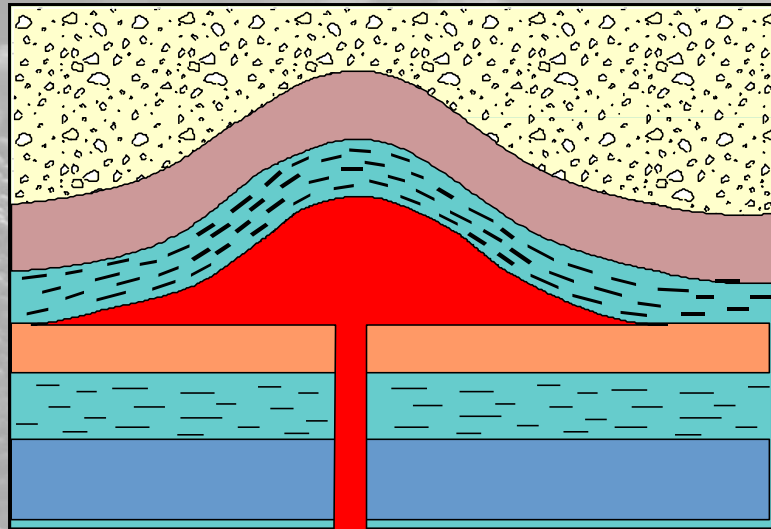
b. Permeated



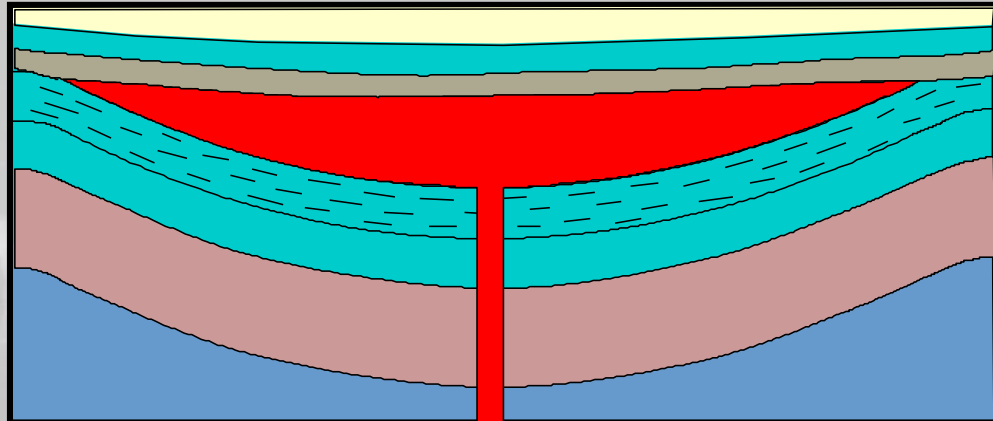
c. Combination

Slika II-3. Postupni prijelaz između homogene magmatske stijene (bijelo) i okolne stijene (tamno). Prema Compton (1962), Manual of Field Geology. © R. Compton.

# Načini pojavljivanja magmatskih stijena



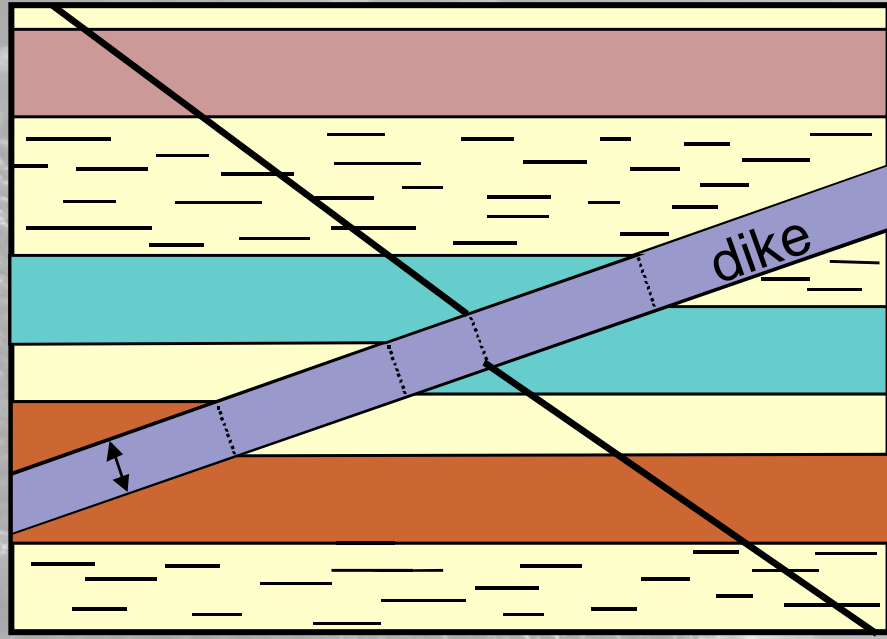
a



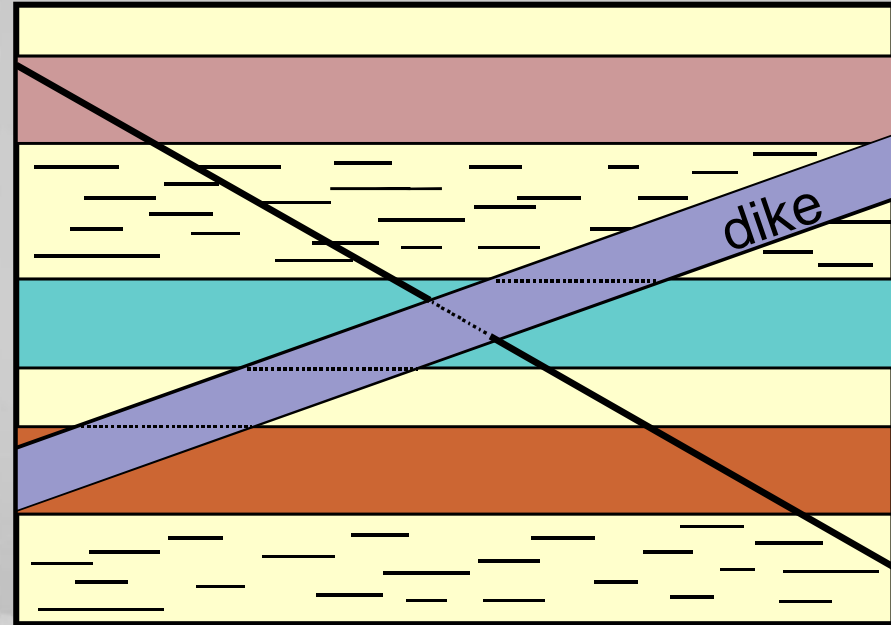
b

Slika II-9. Oblici konkordantnih plutonskih tijela. a. Lakolit, gljivasta forma, veličinom između sila i štoka (nekoliko km<sup>2</sup>), ravna podina zakriviljena krovina. b. Lopolit intrudirao u bazen, tanjurasto tijelo, konkordantno, stratificirano s bazičnim donjim dijelom . Skala nije jednaka za oba plutona, lopolit je obično znatno veći. © John Winter and Prentice Hall.

# Načini pojavljivanja magmatskih stijena



a



b

Slika II-10. Pločasta magmatska tijela unutar uslojenih sedimenata.  
dajk (žica) remeti slojeve, diskordantan odnos.

Sil konkordantan odnos, ulaganje II slojnoj plohi. © John Winter and Prentice Hall.

# Dajk (žica)



- Dajkovi bazalta u granitu (Djedovica, Slavonija)

# Efuzivi, površinske efuzije, tokovi, vulkani

- Centralni izljev
- Pukotine
- Slijev - velike površine, male debljine, ovisi o sastavu lave
  - kisele
  - bazične

## PAHOEHOE lava

- fluidne, niski viskozitet, čvoraste, nalik užetu, unutarnje cijevi, fire fountain, pukotine

## AA lava

- manje pokretne, viši viskozitet, deblji tokovi, manje plinova i para
- ili eruptira kao aa ili evoluira iz pahoehoe, fire fountain

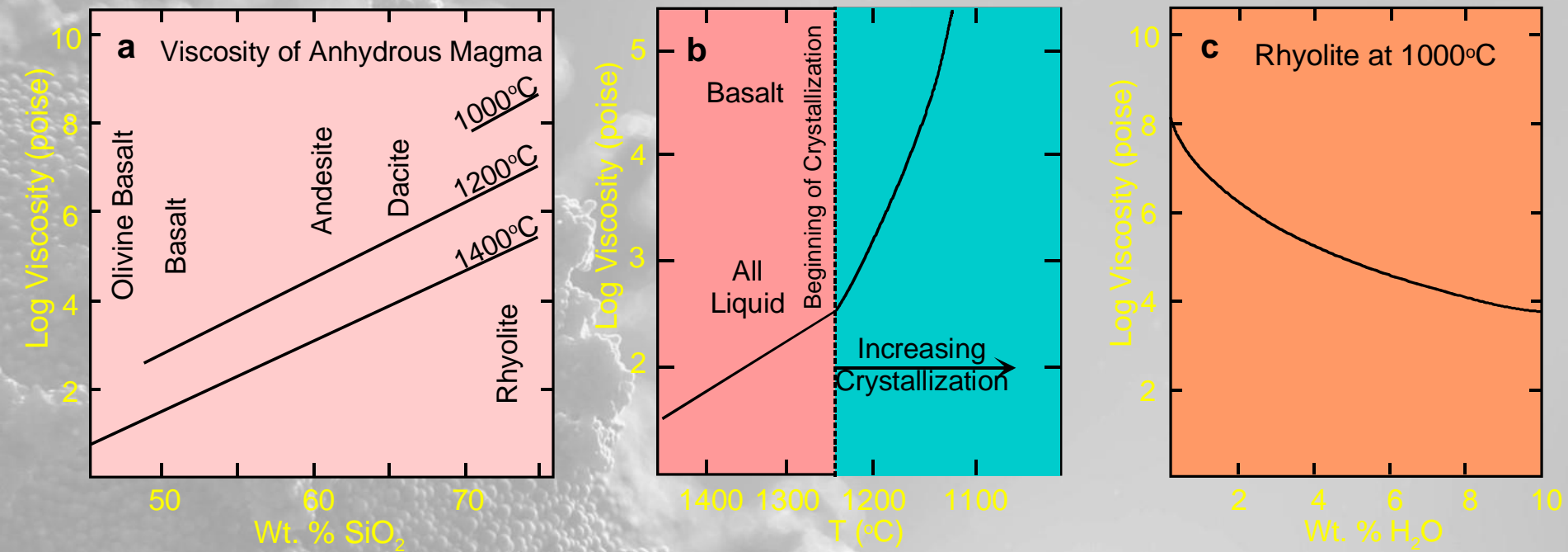
## Blok lava

- glatka u usporedbi s aa lavom, nepravilna površina, reljef do nekoliko m, visok viskozitet i naglo istjecanje



Slika II-13. "Vatrena fontana" (fire fountain) i tok lave, Hawaii

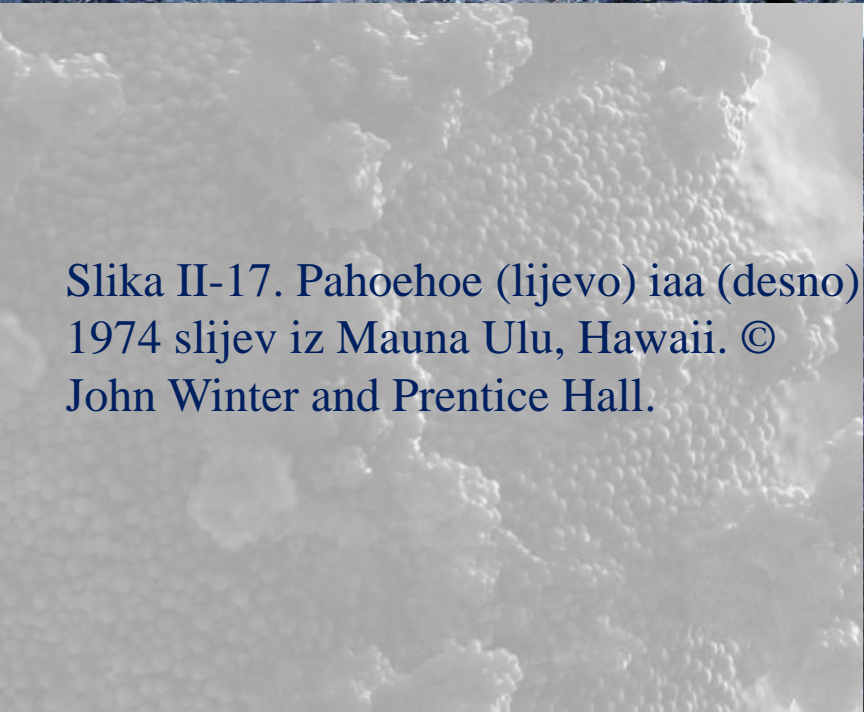
# Viskozitet



Slika II-15. a. Izračunati viskoziteti bezvodne silikatne taljevine pri tlaku od 1 atmosfere - Bottinga and Weill (1972), Hess (1989), Origin of Igneous Rocks. Harvard University Press. b. Varijacije u viskozitetu bazalta tijekom kristalizacije (prema Murase and Mc Birney, 1973), Geol. Soc. Amer. Bull., 84, 3563-3592. Varijacije u viskozitetu riolita pri 1000°C s povećanjem sadržaja H<sub>2</sub>O (prema Shaw, 1965, Amer. J. Sci., 263, 120-153).



Slika II-16. Površina aa lave nalikuje užetu, 1996 flows, Kalapana area, Hawaii. © John Winter and Prentice Hall.



Slika II-17. Pahoehoe (lijevo) iaa (desno) 1974 slijev iz Mauna Ulu, Hawaii. © John Winter and Prentice Hall.



## Riolitna lava

- visok sadržaj SiO<sub>2</sub>, stakla
- visok viskozitet, tokovi lave
- da bi uopće mogle teći potrebne su visoke temperature

## Jastučasta lava (pillow)

- jastučasti oblik, 10 cm - 6 m, bazaltnog sastava
- submarinske efuzije, reakcija s hladnom morskom vodom, koncentrična građa (sitnozrnata jezgra + staklasti rub)
- alteracije minerala (klinopiroksen, plagioklas  $\Rightarrow$  klorit, albit)
- srednjeoceanski hrptovi
- najzastupljeniji tip lave, pokriva 70 % zemljine površine



Slika II-18. Pillow lava.  
Fotografija Gordon Tribble i U.S. Geological Survey

# Vulkani



Slika II-20.  
Tipovi  
vulkana s  
centralnim  
izljevom (svi  
prikazani na  
istoj skali).

Shield Volcano: Mauna Loa, HI

a



Composite Volcano:  
Mt. Rainier, WA.

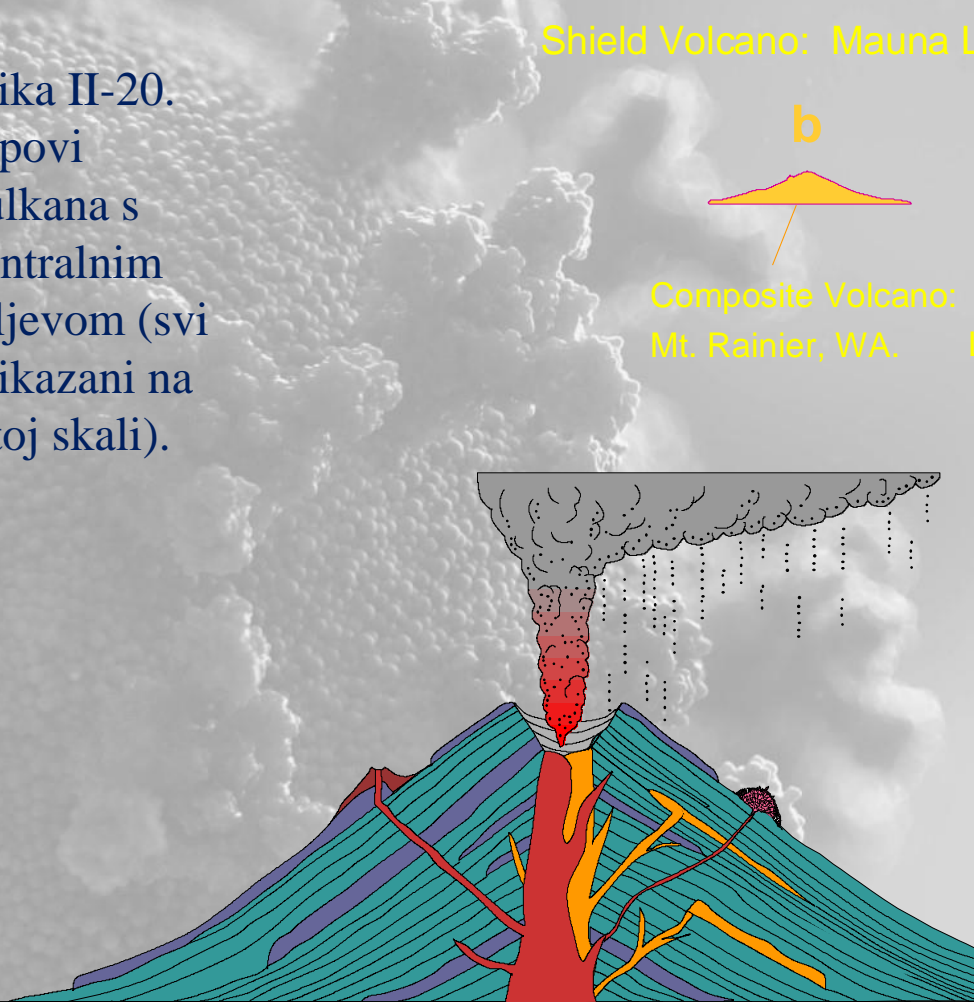


Dome: Lassen Peak, CA



Cinder Cone:

Sunset Crater, AZ



Vulkanska kupa  
Krater  
Grotlo  
Dimnjak  
Parazitski vulkani  
Magmatsko ognjište

- Štitasti (shield) vulkan
  - fluidni slijev lave, relativno niski, velike površine, h/d omjer nizak
- Stratovulkan (složena kupa, composite)
  - iznjene slijevova i naslaga piroklastičnog materijala
- Piroklastični vulkan (cinder)
  - izgrađen od piroklastičnog materijala (litoklast, kristaloklast, vitroklast)
  - vrlo strmi, h/d omjer visok

Pepeo - < 4 mm

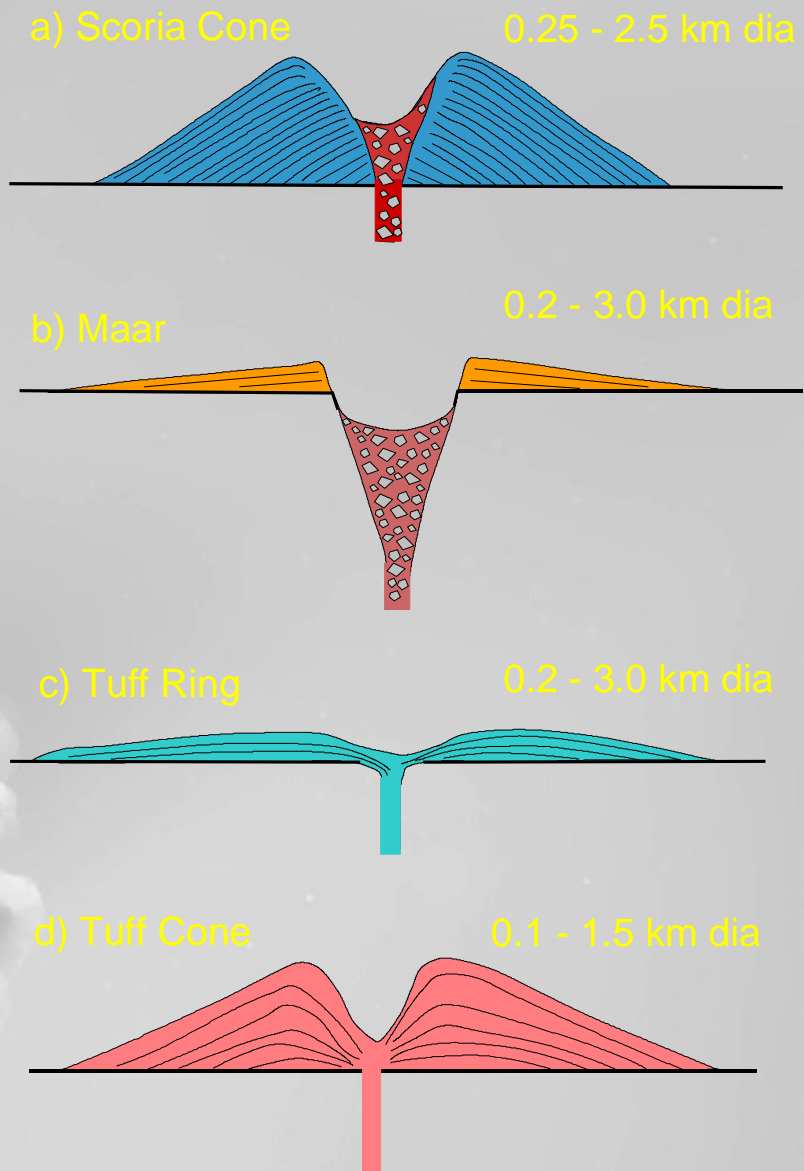
Lapili - 4 do 32 mm

Bombe - > 32 mm

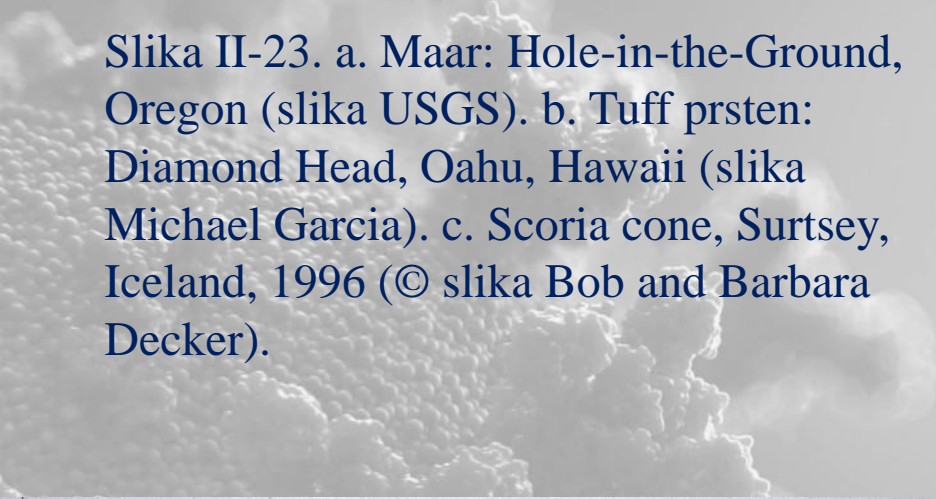
Slika II-22. Presjeci manjih ekspozivnih vulkana. Prema Wohletz and Sheridan (1983), Amer. J. Sci, 283, 385-413.



Scoria - je vezikularna staklasta lava bazaltnog do andezitnog sastava nastala izbacivanjem tijekom eksplozivne erupcije.

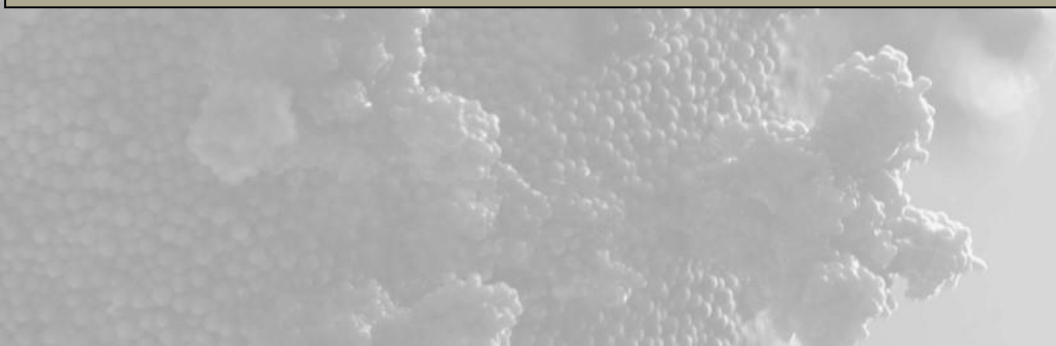
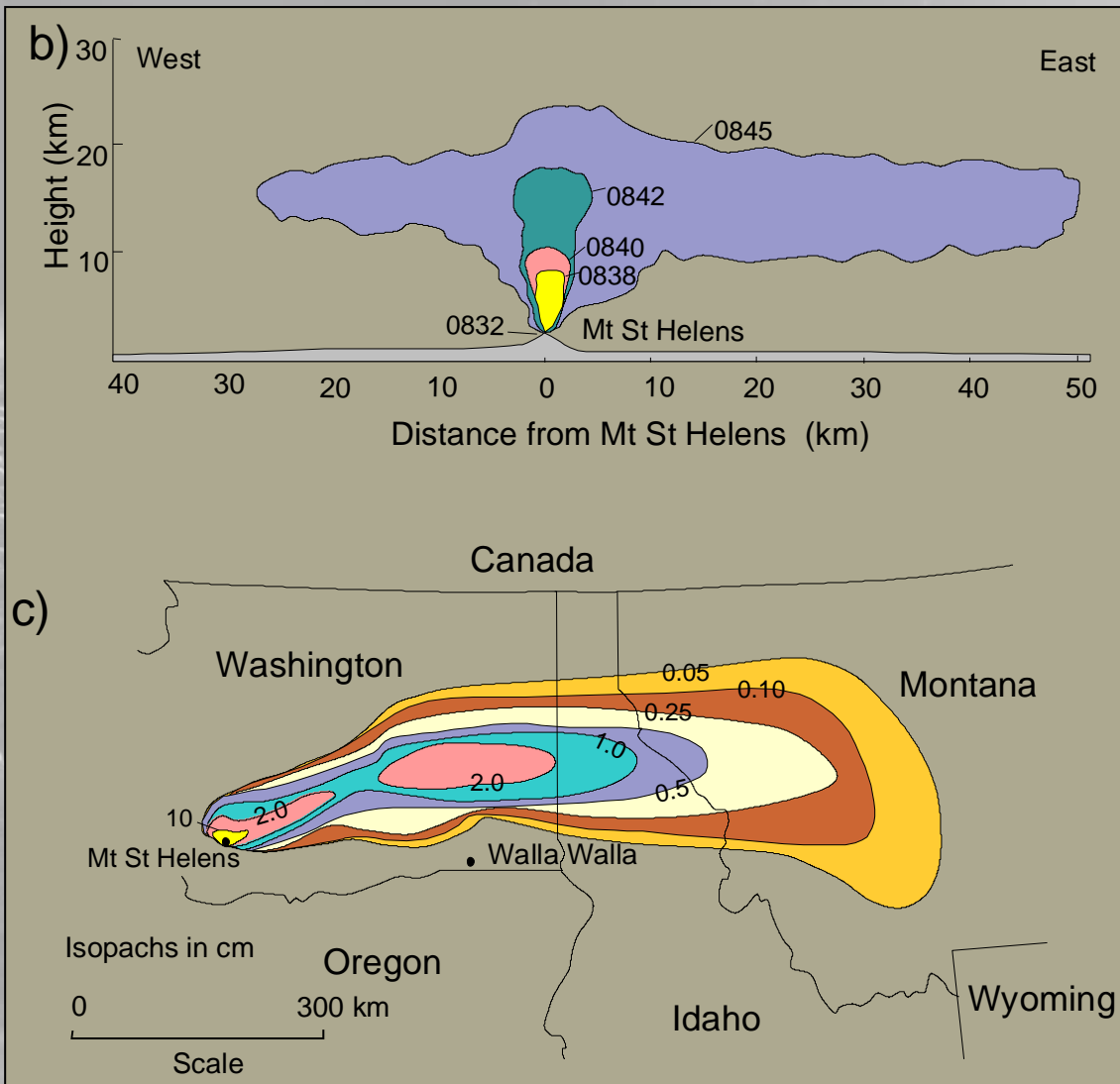


Slika II-23. a. Maar: Hole-in-the-Ground, Oregon (slika USGS). b. Tuff prsten: Diamond Head, Oahu, Hawaii (slika Michael Garcia). c. Scoria cone, Surtsey, Iceland, 1996 (© slika Bob and Barbara Decker).



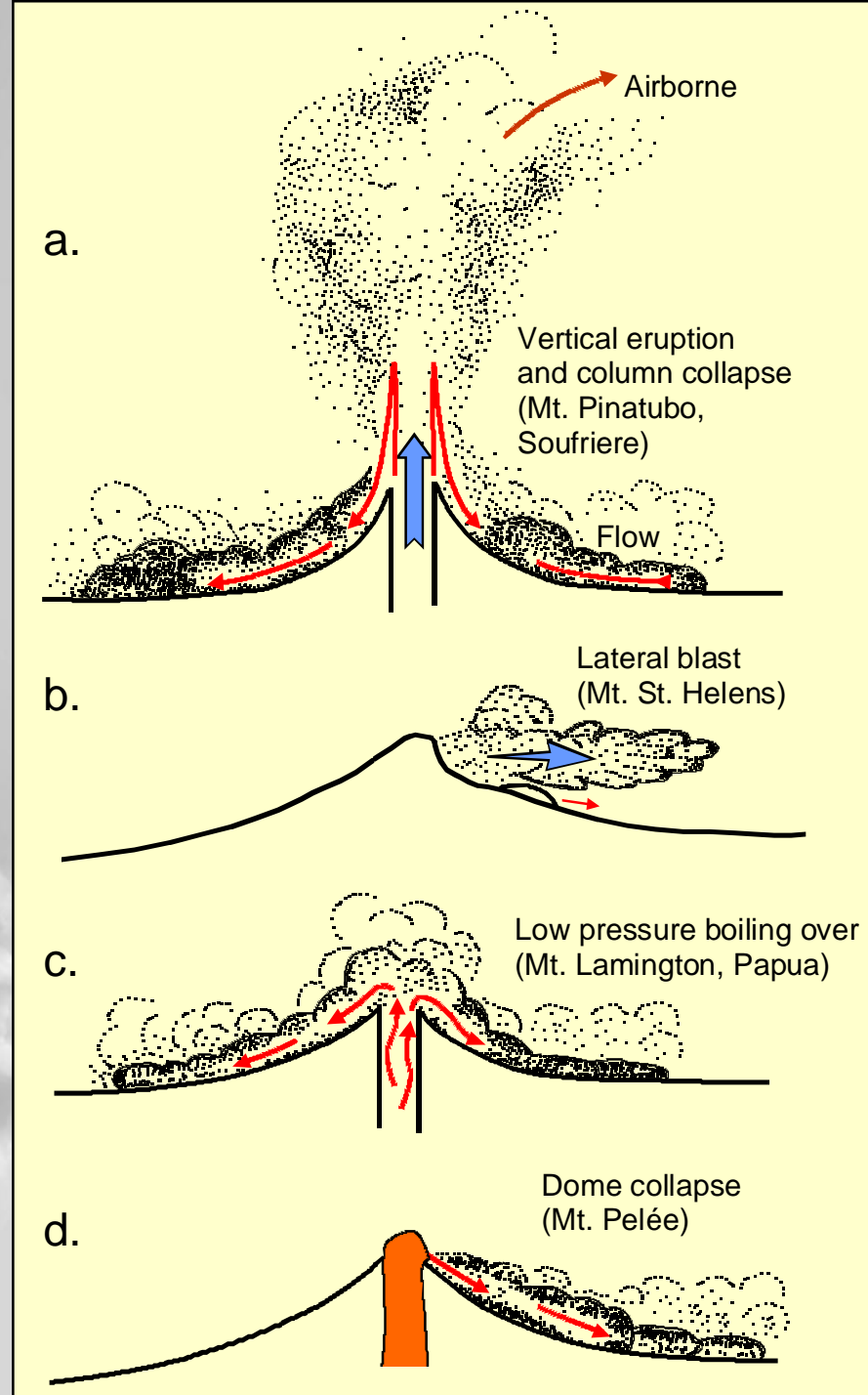
## Prema karakteru eksplozivnosti:

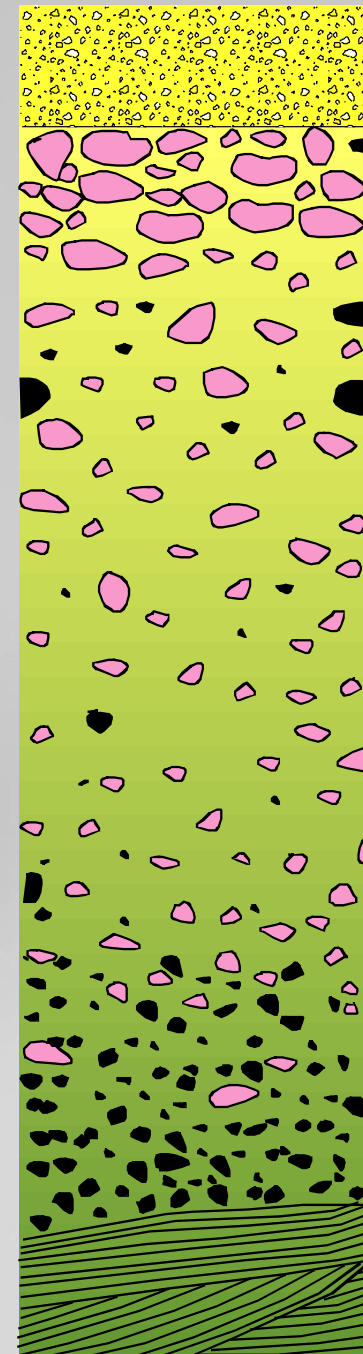
- Hawaii i Stromboli  
bazični sastav, 1200 °C, brzina toka lave 8-10 m/s, protežu se do 80 km, neksplozivan
- Etna i Vezuv  
andezitni do bazični sastav, viskozne, spore, ~ 1000 °C, začepljenje dimnjaka dovodi do eksplozije, izbacuju kruti materijal ( bombe, lapili), kratki i debeli tokovi
- Pele
- andezitni, vrlo visok viskozitet, 800 °C, skrutnjavanje u dimnjaku, kolosalne eksplozije (krutina + plin)
- Krakatoa
- kiseli, vrlo visok viskozitet, eksplozije, velike količine krutine, KALDERA



Slika II-25. Oblak pepela i njegovo rasprostiranje nakon erupcije Mt. St. Helens 1980. a. Mt. St. Helens vertikalni stup pepela, Svibanj 18, 1980 (slika USGS). b. Razvoj oblaka pepela u prvih 13 minuta. c. Debljina naslaga pepela (u cm). Prema Sarna-Wojcicki et al. ( 1981) in The 1980 Eruptions of Mount St. Helens, Washington. USGS Prof. Pap., 1250, 557-600.

Slika II-27. Tipovi nastanka piroklastičnih naslaga (pyroclastic flow). Prema MacDonald (1972), Volcanoes. Prentice-Hall, Inc., Fisher and Schminke (1984), Pyroclastic Rocks. Springer-Verlag. Berlin. a. kolaps vertikalne eksplozije ili Plinijskog stupca, materijal pada natrag i kreće se duž površine. b. Bočna eksplozija, Mt. St. Helens in 1980. c. Ključanje “Boiling-over” magme bogatim plinom. d. Gravitacijski kolaps vruće dome (Sl. II-28).





Slika II-29. Presjek kroz ignimbrit pokazuje u bazi kaotične naslage (basal surge deposit), u sredini tokove piroklastičnog materijala (flow deposit), i u gornjem dijelu pokrov pepela (ash fall). Razo predstavlja plovučac (pumice), tamno predstavlja fragmente stijena (gušći). Prema Sparks et al. (1973) Geology, 1, 115-118. Geol. Soc. America

Vitroklast  
Litoklast  
Kristaloklast

# LUČENJE

pločasto  
kockasto

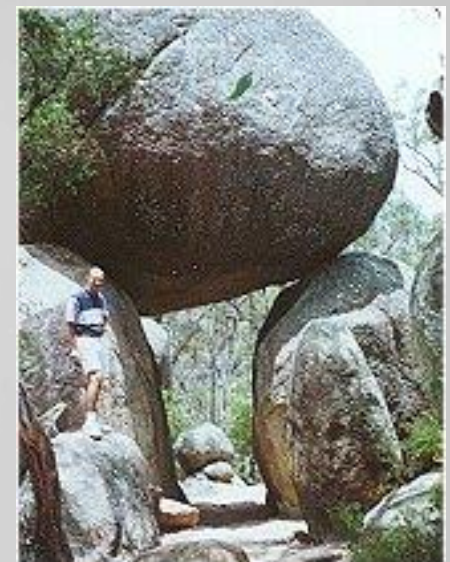
prizmatsko  
kuglasto

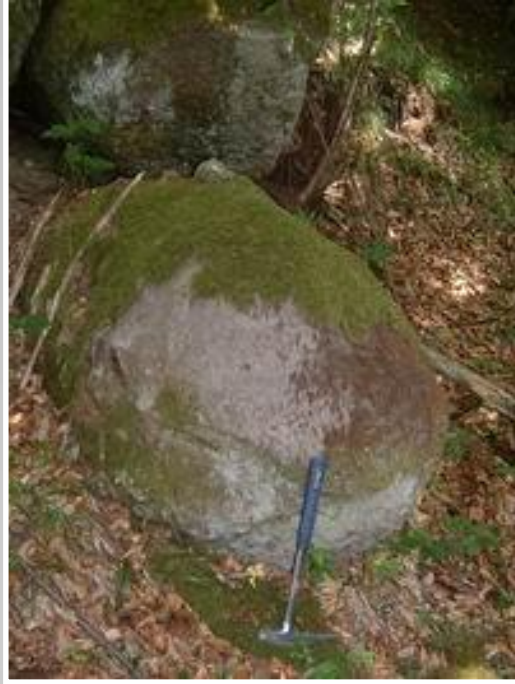
nepravilno

a



Slika II-30. a. Yellowstone National Park, Wyoming, USA  
prizmatsko lučenje ; b. kuglasto lučenje Girraween National Park Australija





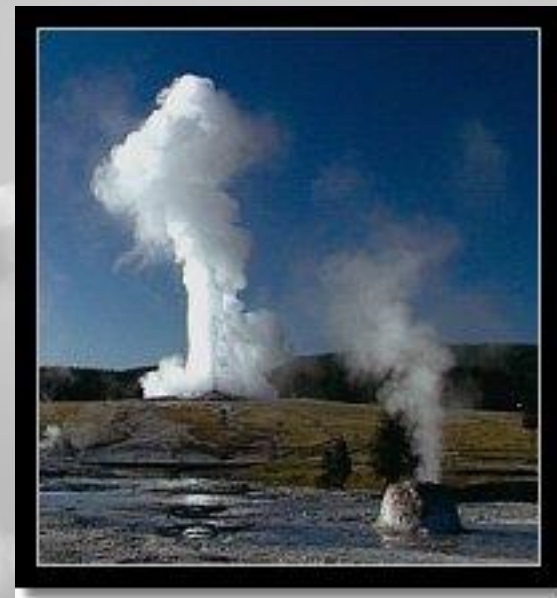
↑ Kuglasto lučenje  
Garjavica, Moslavačka gora



← Prizmatsko lučenje  
Rupnica, Voćin, Slavonija

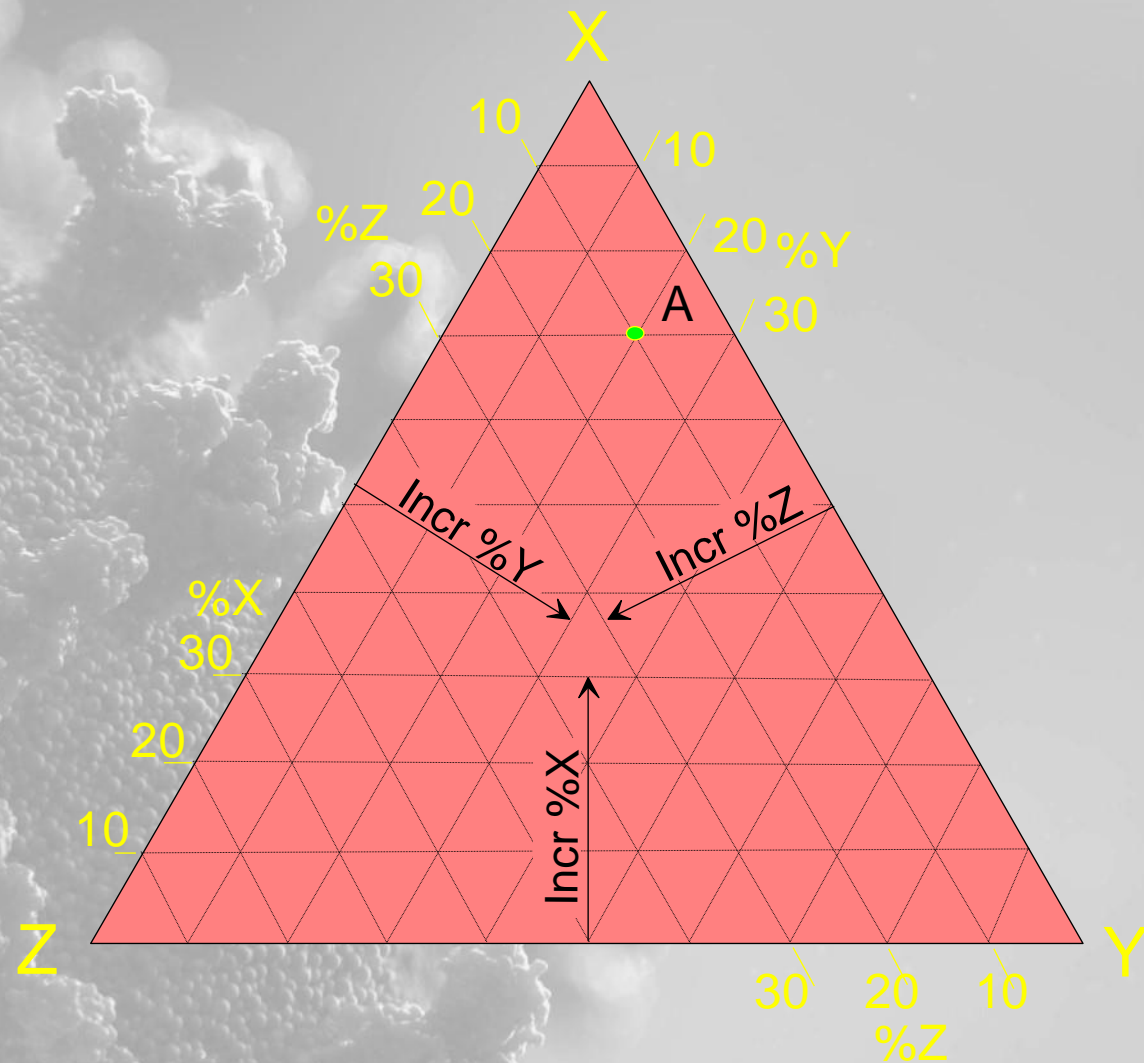
# Post vulkanski fenomeni

- vrući izvori
- gejziri
- fumarole



Old Faithful, Yellowstone, USA

# Klasifikacija magmatskih stijena

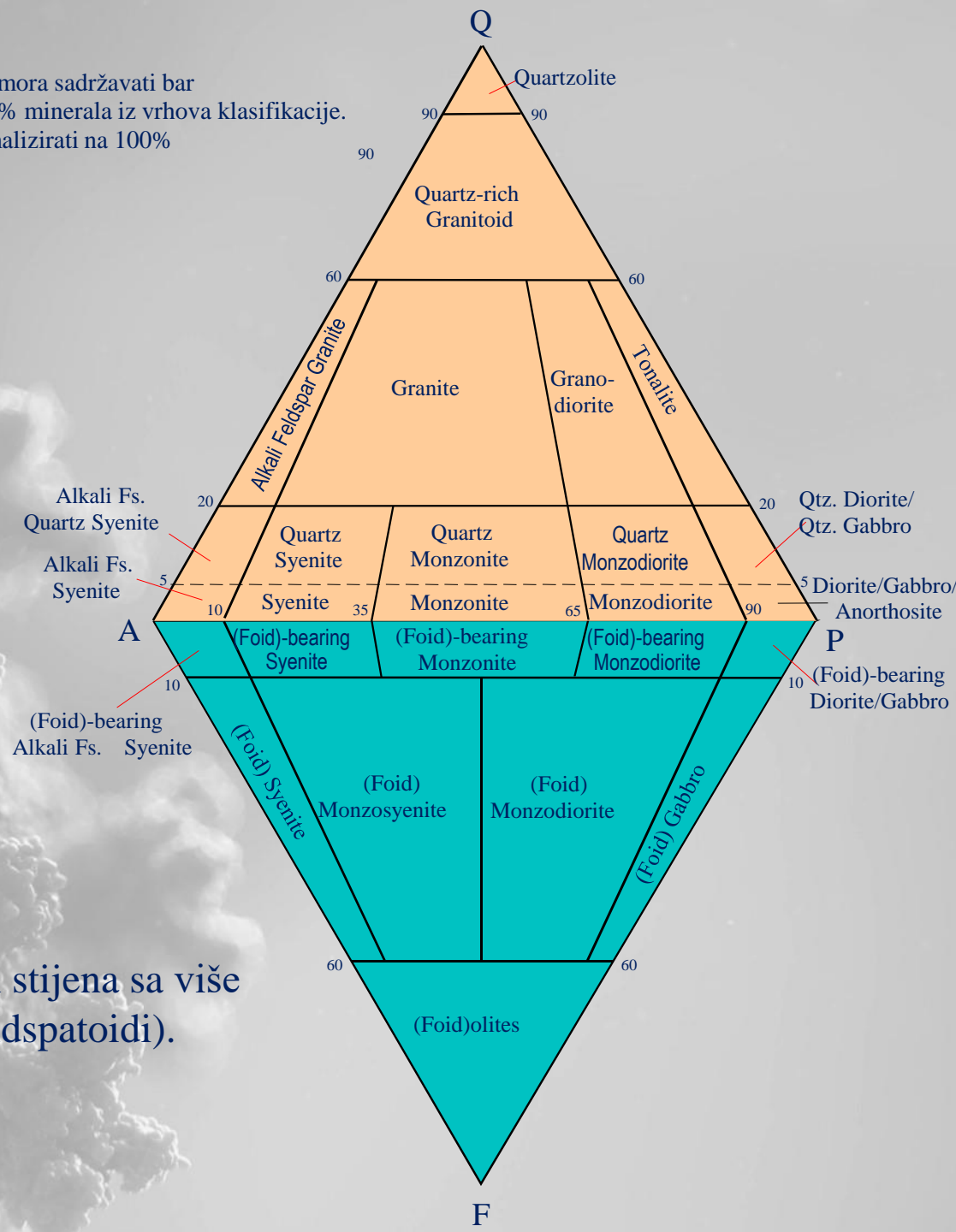


Slika II-1. Unos točaka u trokomponentni dijagram: 70% X, 20% Y, and 10% Z. An Introduction to Igneous and Metamorphic Petrology, John Winter, Prentice Hall.

# Klasifikacija magmatskih stijena

(a)

Stijena mora sadržavati bar  
10 vol. % minerala iz vrhova klasifikacije.  
Renormalizirati na 100%



Slika II-2. Klasifikacija magmatskih stijena sa više od 10 vol. % (kvarc+ feldspati + feldspatoidi).  
Prema IUGS.

# Klasifikacija magmatskih stijena

Plagioclase



Pyroxene

Gabro - cpx

Norit - opx

Gabronorit

(b)

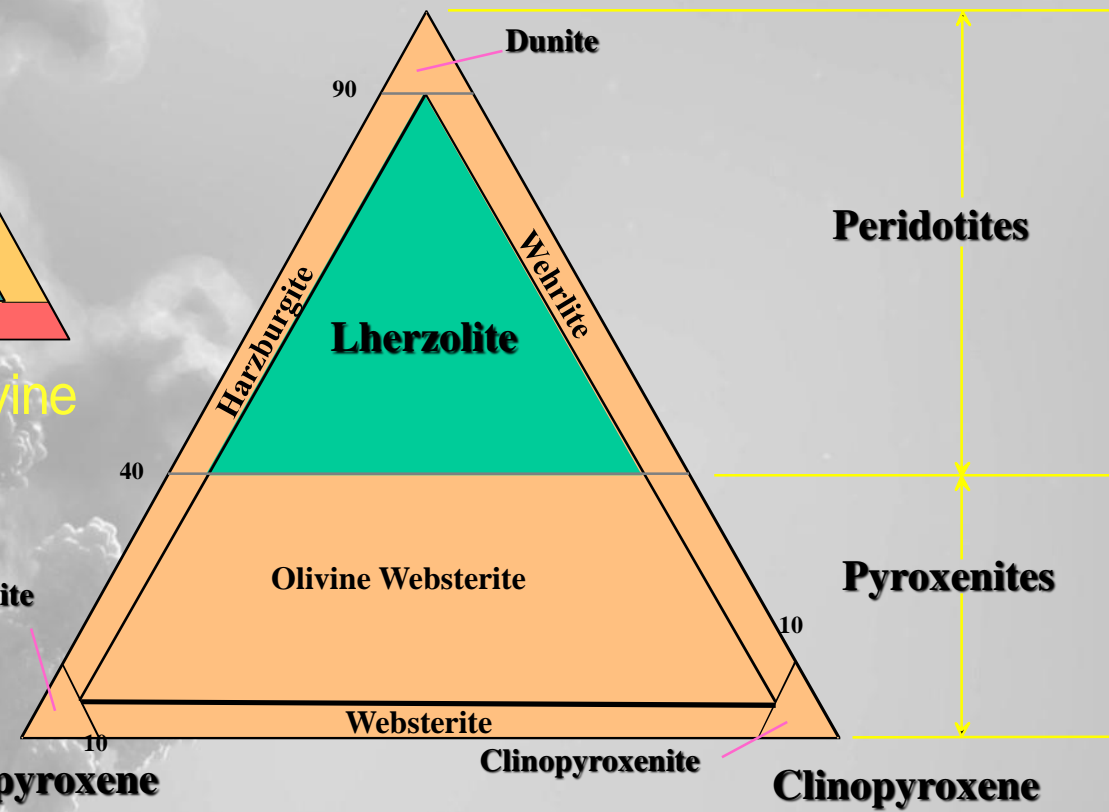
Olivine

(c)

Orthopyroxene

Slika II-3. Klasifikacija magmatskih stijena .  
b. Gabroidne stijene. c. Ultramafitne stijene.  
Prema IUGS.

Olivine



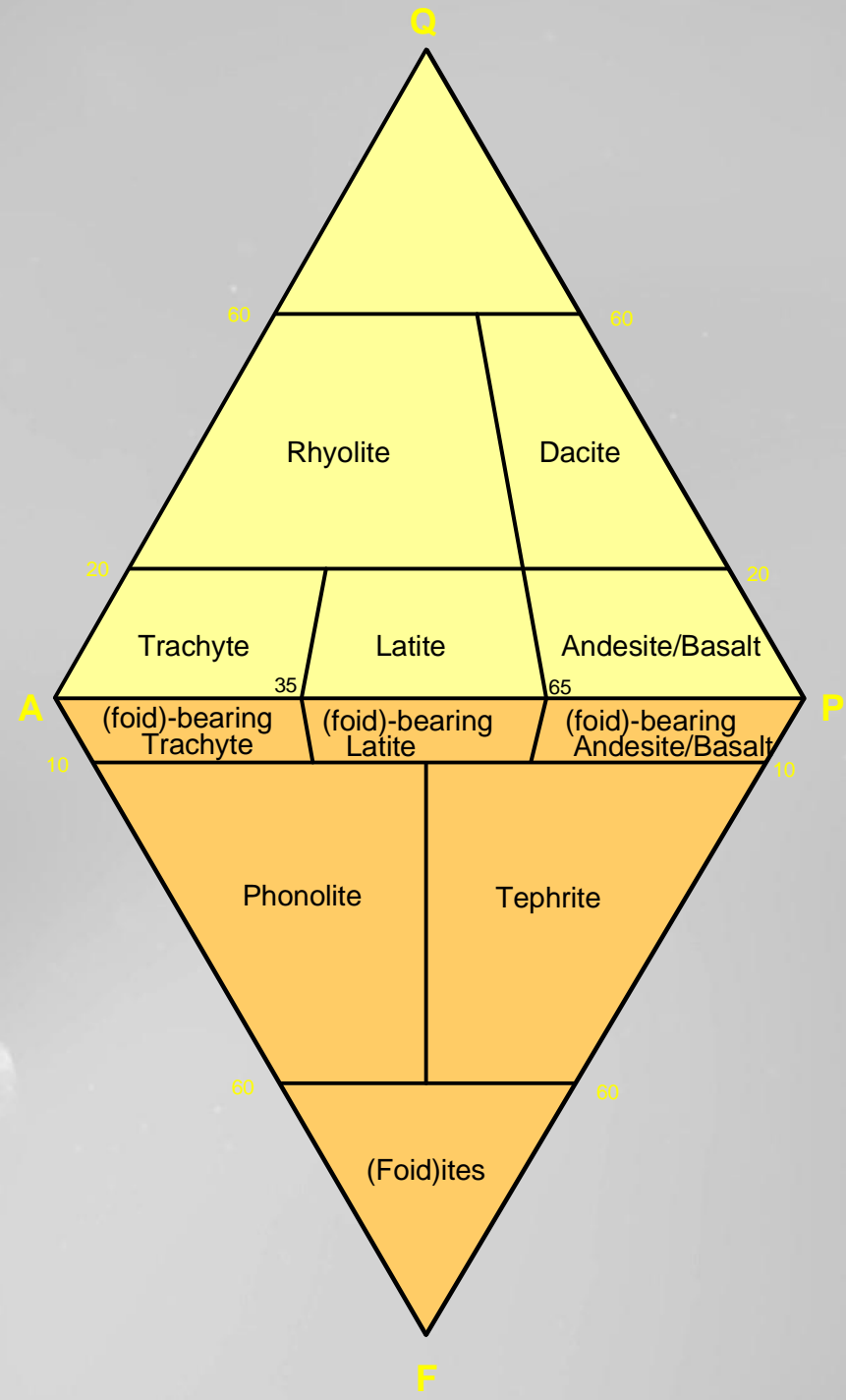
Peridotites

Pyroxenites

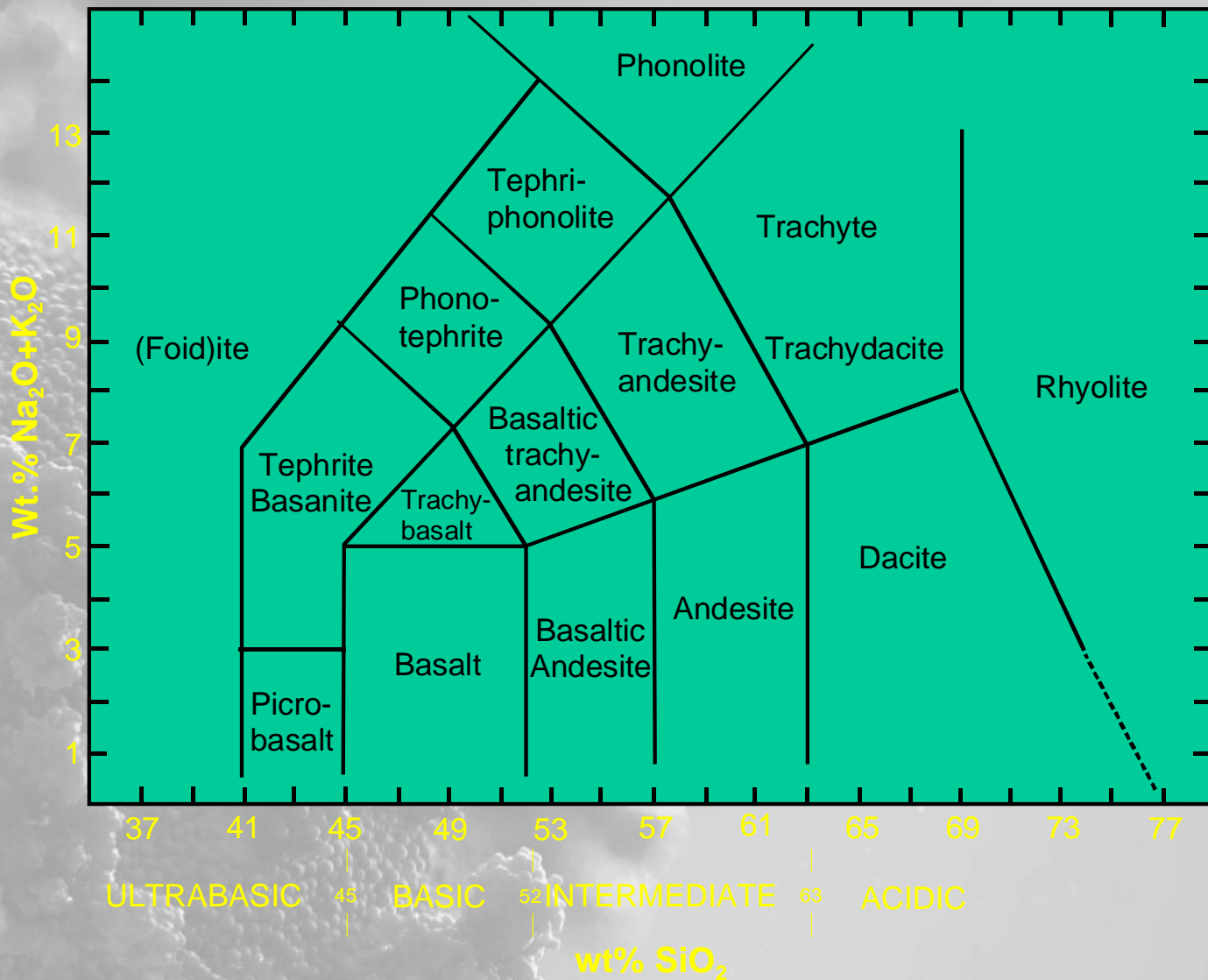
Clinopyroxene

# Klasifikacija magmatskih stijena

Slika II-4. Klasifikacija magmatskih stijena (efuzivi). Prema IUGS.

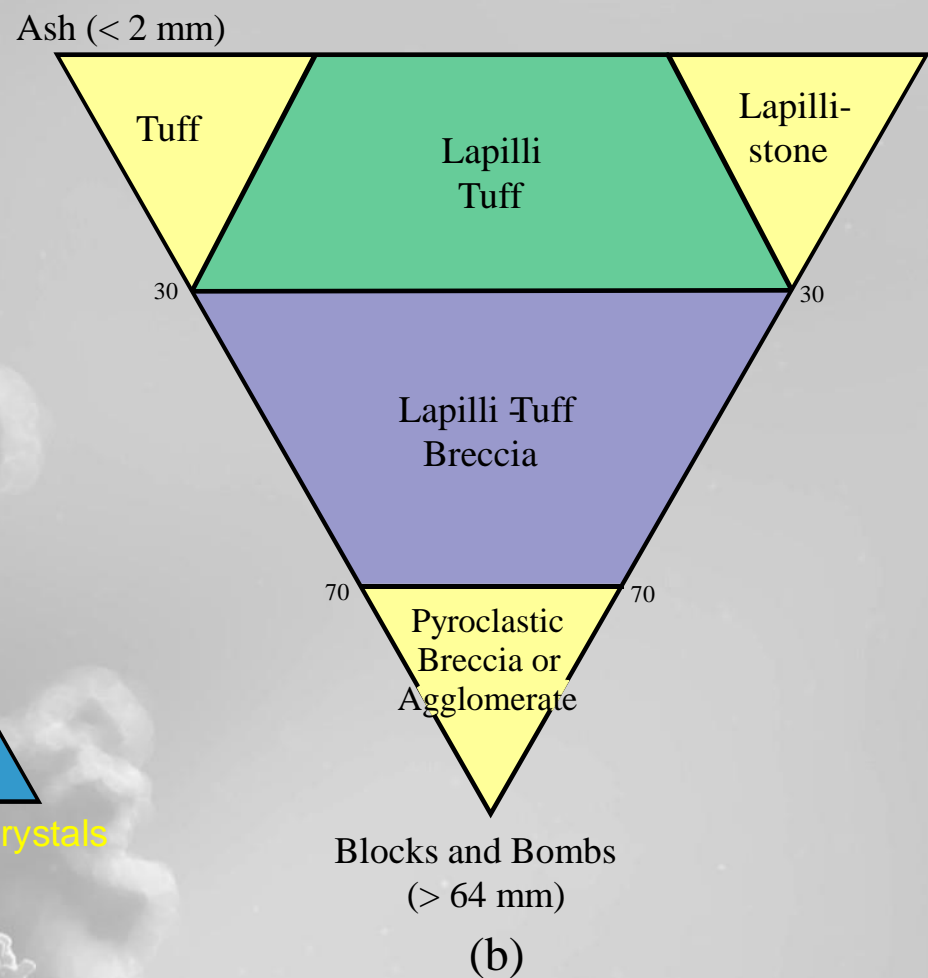
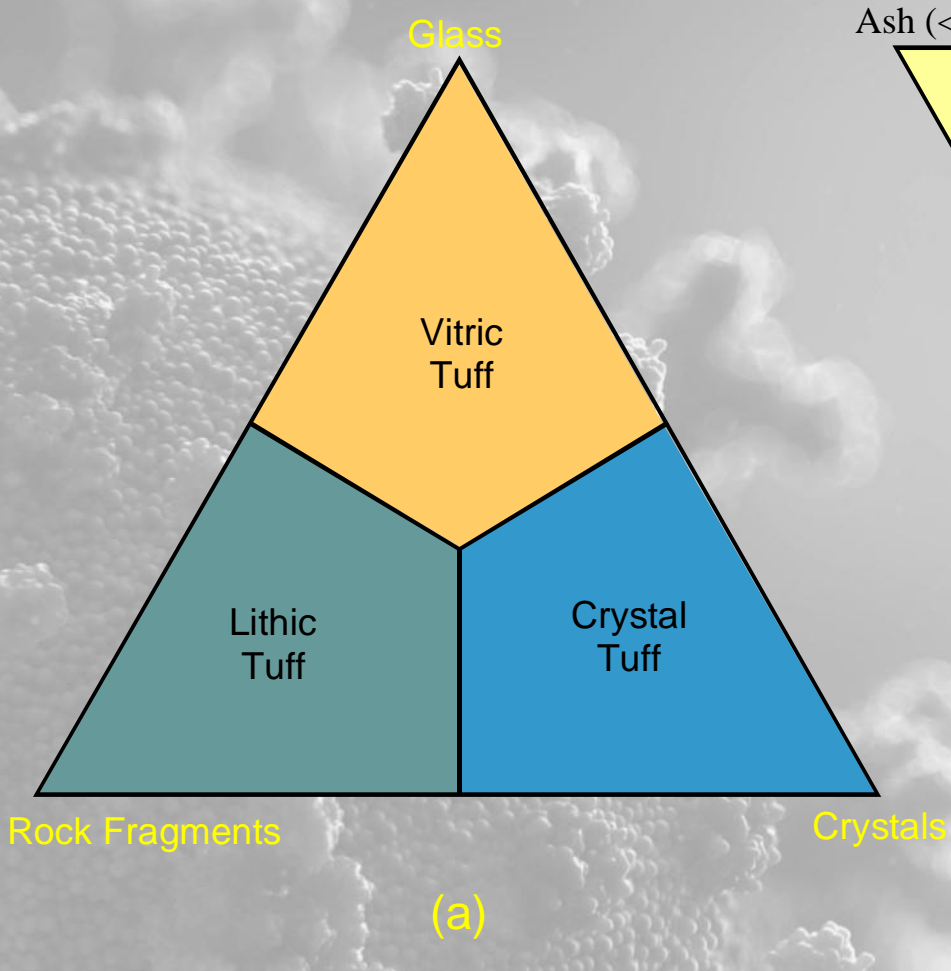


# Klasifikacija magmatskih stijena



Slika II-5. Kemijska klasifikacija efuzivnih stijena temeljena na sadržaju SiO<sub>2</sub> i ukupnih alkalnih oksida (tež. %). Prema Le Bas et al. (1986) J. Petrol., 27, 745-750. Oxford University Press.

# Klasifikacija magmatskih stijena



Slika II-6. Klasifikacija piroklastičnih stijena. a. Temeljena na vrsti materijala. Prema Pettijohn (1975) Sedimentary Rocks, Harper & Row, and Schmid (1981) Geology, 9, 40-43. b. Temeljena na veličini čestica. Prema Fisher (1966) Earth Sci. Rev., 1, 287-298.

# Klasifikacija magmatskih stijena

	Serija alkalijska	Serija monzonitska	Serija kalcijsko-alkalijska	
Mineralni sastav	K-feldspati ± feldspatoidi	K-feldspati + plagioklasi	Plagioklasi	Mineralni sastav
intruziv efuziv	granit riolit	adamelit delenit	granodiorit dacit	kvarc + biotit (amfibol)
intruziv efuziv	sijenit trahit	monzonit trahi-andezit	diorit andezit	amfibol ± biotit (piroksen)
intruziv efuziv	alk. gabro alk. bazalti	kentalenit trahi-bazalt	gabro bazalt	piroksen, ± oliven
				oliven, piroksen dunit peridotiti pirokseniti

Slika II-7. Terenska klasifikacija magmatskih stijena.